



PONTIFÍCIA UNIVERSIDADE CATÓLICA DO PARANÁ

ESCOLA DE SAÚDE E BIOCIÊNCIAS  
PROGRAMA DE PÓS-GRADUAÇÃO EM ODONTOLOGIA  
ÁREA DE CONCENTRAÇÃO ORTODONTIA

**ADRIANA CRISTINA ROCHA**

**EFEITO DA NICOTINA E DO ETANOL NA NEOFORMAÇÃO ÓSSEA  
DURANTE O MOVIMENTO ORTODÔNTICO EM RATOS**

**Curitiba**

**2015**

**ADRIANA CRISTINA ROCHA**

**EFEITO DA NICOTINA E DO ETANOL NA NEOFORMAÇÃO ÓSSEA  
DURANTE O MOVIMENTO ORTODÔNTICO EM RATOS**

Dissertação apresentada ao Programa de Pós-Graduação em Odontologia da Pontifícia Universidade Católica do Paraná, como parte dos requisitos para obtenção do título de Mestre em Odontologia, Área de Concentração em Ortodontia.

Orientadora: Profa. Dra. Elisa Souza Camargo.

**Curitiba**  
**2015**

Dados da Catalogação na Publicação  
Pontifícia Universidade Católica do Paraná  
Sistema Integrado de Bibliotecas – SIBI/PUCPR  
Biblioteca Central

R672e  
2015

Rocha, Adriana Cristina

Efeito da nicotina e do etanol na neoformação óssea durante o movimento  
ortodôntico em ratos / Adriana Cristina Rocha; orientadora, Elisa Souza  
Camargo. -- 2015  
64 f. : il. ; 30 cm

Dissertação (mestrado) – Pontifícia Universidade Católica do Paraná,  
Curitiba, 2015.  
Inclui bibliografias

1. Odontologia. 2. Ortodontia. 3. Movimentação dentária. 4. Nicotina - Efeito  
fisiológico. 5. Álcool – Efeito fisiológico 6. Osseointegração . I. Camargo,  
Elisa Souza. II. Pontifícia Universidade Católica do Paraná.  
Programa de Pós-Graduação em Odontologia. III. Título.

CDD 20. ed. – 617.6

## TERMO DE APROVAÇÃO

ADRIANA CRISTINA ROCHA

### EFEITO DA NICOTINA E DO ETANOL NA NEOFORMAÇÃO ÓSSEA DURANTE O MOVIMENTO ORTODÔNTICO EM RATOS

Dissertação apresentada ao Programa de Pós-Graduação em Odontologia da Pontifícia Universidade Católica do Paraná, como parte dos requisitos parciais para a obtenção do Título de **Mestre em Odontologia**, Área de Concentração em **Ortodontia**.

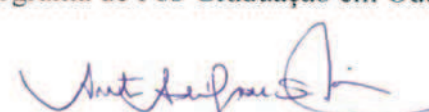
Orientador(a):



Prof. Dr. Elisa Souza Camargo  
Programa de Pós-Graduação em Odontologia, PUCPR



Prof. Dr. Odilon Guariza Filho  
Programa de Pós-Graduação em Odontologia, PUCPR



Prof. Dr. Antonio Adilson Soares de Lima  
Programa de Pós-Graduação em Odontologia, UFPR

Curitiba, 08 de julho de 2015.

O amor é sofredor, é benigno;  
o amor não é invejoso;  
o amor não trata com leviandade,  
não se ensoberbece.  
Não se porta com indecência,  
não busca os seus interesses,  
não se irrita, não suspeita mal;  
Não folga com a injustiça,  
mas folga com a verdade;

Tudo sofre,  
tudo crê,  
tudo espera,  
tudo suporta  
O amor nunca falha;  
mas havendo profecias, serão aniquiladas;  
havendo línguas, cessarão;  
havendo ciência, desaparecerá;

Porque, em parte, conhecemos,  
e em parte profetizamos;

Mas, quando vier o que é perfeito,  
então o que o é em parte será aniquilado.

Quando eu era menino,  
falava como menino,  
sentia como menino,  
discorria como menino,  
mas, logo que cheguei a ser homem,  
acabei com as coisas de menino.

Porque agora vemos por espelho em enigma,  
mas então veremos face a face;  
agora conheço em parte,  
mas então conhecerei como também sou conhecido.

Agora, pois, permanecem a fé,  
a esperança e o amor,  
estes três,  
mas o maior destes é o amor.

## SUMÁRIO

<b>ARTIGO EM PORTUGUÊS .....</b>	<b>1</b>
Página título .....	2
Resumo.....	3
Introdução .....	4
Material e Métodos.....	5
Resultados .....	8
Discussão .....	16
Conclusões.....	20
Referências.....	21
<b>ARTIGO EM INGLÊS.....</b>	<b>25</b>
Title page .....	26
Abstract .....	27
Introduction .....	28
Material and Methods.....	29
Results .....	32
Discussion.....	40
Conclusions .....	43
References.....	44
<b>ANEXOS .....</b>	<b>48</b>
Parecer de comitê de ética.....	49
Metodologia complementar .....	51
Normas para publicação .....	59

1  
2  
3  
4  
5  
6  
7  
8  
9  
10  
11  
12  
13

## **1. ARTIGO EM PORTUGUÊS**

1 PÁGINA TÍTULO  
2  
3 **EFEITO DA NICOTINA E DO ETANOL NA NEOFORMAÇÃO ÓSSEA DURANTE O**  
4 **MOVIMENTO ORTODÔNTICO EM RATOS**  
5  
6 **Adriana Cristina Rocha, CD**  
7 Pontifícia Universidade Católica do Paraná, Curitiba, Brasil  
8 Escola de Saúde e Biociências  
9 Programa de Pós-Graduação em Odontologia - Ortodontia  
10 Email: adricristina.rocha@gmail.com  
11  
12 **Aline Cristina Batista Rodrigues Johann, CD, PhD**  
13 Pontifícia Universidade Católica do Paraná, Curitiba, Brasil.  
14 Escola de Saúde e Biociências  
15 Programa de Pós-Graduação em Odontologia - Estomatologia  
16 Email: aline.johann@pucpr.br  
17  
18 **Elisa Souza Camargo, CD, PhD**  
19 Pontifícia Universidade Católica do Paraná, Curitiba, Brasil  
20 Escola de Saúde e Biociências  
21 Programa de Pós-Graduação em Odontologia, Ortodontia  
22 Email: escamargo@uol.com.br  
23  
24 Autor correspondente  
25 **Profa. Dra. Elisa Souza Camargo, CD, PhD**  
26 Pontifícia Universidade Católica do Paraná, Escola de Saúde e Biociências  
27 Programa de Pós-graduação em Odontologia, Ortodontia  
28 Rua Imaculada Conceição, 1155, Bairro Prado Velho  
29 CEP: 80215-901 – Curitiba, Paraná, Brasil  
30 Fone: (55) 41 32711637/ Fax (55) 41 32711405  
31 E-mail: escamargo@uol.com.br

1    **RESUMO**

2

3    **Introdução:** O objetivo dessa pesquisa foi avaliar a ação da nicotina 1mg/Kg e  
4    do etanol 20% sobre o metabolismo, a neoformação óssea e o deslocamento  
5    dentário durante o movimento ortodôntico em ratos. **Métodos:** Duzentos ratos  
6    *Wistar* machos foram divididos em 4 grupos controle - GC, sem movimentação  
7    dentária (GCI- Solução salina, GCII- Nicotina, GCIII- Etanol, GCIV- Nicotina e  
8    Etanol) e 4 grupos experimentais - GE, com movimentação dentária (GEI-  
9    Solução salina, GEII- Nicotina, GEIII- Etanol e GEIV- Nicotina e Etanol). Após 30  
10   dias de administração das soluções, dispositivo ortodôntico foi instalado nos  
11   grupos experimentais aplicando força (25cN) para mesializar os 1<sup>os</sup> molares  
12   maxilares. Os ratos foram eutanasiados 32, 44 e 58 dias após o início do  
13   experimento. O colágeno foi avaliado por picrosírius e a taxa de deslocamento  
14   dentário mensurada em modelos de gesso. Os dados foram submetidos a análise  
15   estatística. **Resultados:** No 28º dia GE IV apresentou menor porcentagem de  
16   colágeno tipo I (15,72%) quando comparado a GE I ( $p<0,05$ ) e GE III e GE IV  
17   menor porcentagem de colágeno tipo I quando comparado a GC III (18,45%) e  
18   GC IV (21,03%), respectivamente ( $p<0,05$ ). No 28º dia, GE II apresentou menor  
19   taxa de deslocamento dentário (32,53%) quando comparado a GE I ( $p<0,05$ ).  
20   **Conclusões:** A ação da nicotina favoreceu a diminuição da massa corporal dos  
21   animais. A nicotina e o etanol associados atrasaram a neoformação óssea,  
22   diminuindo a porcentagem de fibras colágenas maduras. A nicotina diminuiu o  
23   deslocamento dentário.

24

25

26

27

28

29

30

31

32

## 1 INTRODUÇÃO

2

3 A nicotina (*Nicotiana tabacum*) é o componente químico mais ativo presente  
4 no tabaco. Ela afeta, direta ou indiretamente, o metabolismo celular, e age  
5 negativamente na homeostase do sistema cardiovascular, nervoso autônomo,  
6 endócrino e ósseo.<sup>1,2,3</sup> Como principal componente do cigarro, ela exerce efeito  
7 negativo sobre o tecido ósseo e pode causar vasoconstrição, estimular a trombose e  
8 isquemia tecidual, aumentar a perda de osso peri-implantar e reduzir a atividade das  
9 células osteogênicas.<sup>1</sup> O tabagismo influencia de forma negativa o tratamento  
10 ortodôntico, já que interfere nos processos de remodelação óssea, essenciais para  
11 que ocorra a movimentação dentária.<sup>4,5</sup> Contudo, Gao et al,<sup>6</sup> relatam que o  
12 mecanismo pelo qual o cigarro exerce efeito negativo sobre o osso ainda não é bem  
13 compreendido.<sup>6</sup>

14 O etanol pode alterar o processo de remodelação óssea direta e  
15 indiretamente; seu consumo excessivo compromete o processo de neoformação  
16 óssea, inibindo a atividade dos osteoblastos.<sup>7</sup> De forma indireta, o excesso de álcool  
17 pode provocar alterações bioquímicas no tecido ósseo como a diminuição da síntese  
18 de DNA e aceleração da apoptose osteoblástica.<sup>5</sup> O etanol atua também sobre a  
19 modulação de hormônios reguladores do metabolismo (metabólitos da vitamina D,  
20 hormônios das paratireóides e calcitonina) podendo gerar doenças hepáticas e  
21 deficiências nutricionais.<sup>8</sup> O efeito do álcool sobre o tecido ósseo parece ser  
22 influenciado, tempo de consumo, nível de consumo e gênero. Há evidências da  
23 ocorrência de desequilíbrio no remodelamento ósseo, com predomínio da  
24 reabsorção óssea em adultos jovens, devido à maior exposição ao álcool.<sup>9,10</sup>

25 A movimentação ortodôntica é baseada no complexo processo de  
26 remodelação óssea, no qual uma força biomecânica aplicada a um dente, promove  
27 reações celulares sobre os tecidos adjacentes desencadeando uma inflamação  
28 asséptica de destruição e neoformação óssea local.<sup>11,12</sup> Soares et al<sup>3</sup> concluíram que  
29 o consumo de etanol ou nicotina separadamente podem trazer efeitos negativos ao  
30 osso, reduzindo a neoformação óssea ao redor de implantes. Porém, quando etanol  
31 e nicotina foram administrados simultaneamente, o efeito negativo sobre o osso foi  
32 intensificado.<sup>3</sup>

1 Tendo conhecimento de que considerável parcela da população ingere álcool  
2 e possui o vício de fumar,<sup>13</sup> e que ambos podem afetar o metabolismo ósseo, se faz  
3 importante avaliar o movimento dentário induzido, sob o efeito da nicotina e do  
4 etanol, assim como da associação destas substâncias.

5 Uma vez que não foram encontrados na literatura artigos a esse respeito, o  
6 objetivo deste trabalho foi avaliar a neoformação óssea e o deslocamento dentário  
7 durante o movimento ortodôntico em ratos assim como variações na massa corporal  
8 dos animais, sob a ação de Nicotina (1mg/kg) diariamente, e de Etanol a 20% no  
9 padrão Binge.

10

11

## 12 MATERIAL E MÉTODOS

13

14 O presente trabalho foi submetido e aprovado pelo Comitê de Ética para Uso  
15 de Animais em Pesquisa da PUCPR (#779).

16

### 17 Amostra

18 A amostra foi constituída por 200 ratos machos da linhagem *Wistar* (*Rattus*  
19 *norvegicus albinus*) com aproximadamente 9 semanas de vida, pesando entre 300 –  
20 350g. Os animais foram fornecidos e mantidos pelo Biotério da PUCPR, no qual  
21 todos os cuidados em relação à higiene, iluminação, ventilação e alimentação dos  
22 ratos foram respeitados seguindo as recomendações e orientações éticas do  
23 Canadian Council on Animal Care.<sup>14</sup>

24 A dieta dos animais era a base de água e ração *ad libitum* durante todo  
25 experimento. Antes da instalação dos dispositivos para movimentação dentária a  
26 ração era fornecida sólida. Após a instalação dos dispositivos a ração passou a ser  
27 fornecida triturada no intuito de prevenir eventuais danos à aparelhagem ortodôntica  
28 e facilitar a alimentação dos animais.

29 Os ratos foram divididos aleatoriamente em oito grupos (Tabela I, pág. 6). A  
30 administração das soluções foi realizada durante todo o período experimental, a  
31 todos os grupos. Os animais dos grupos controle foram eutanasiados 32, 44 e 58  
32 dias após início do experimento, conforme subgrupo a que pertenciam. Estes  
33 períodos determinados correspondem ao que seria a fase inicial, intermediária e final

1 do movimento dentário após a aplicação de uma força ortodôntica. Nos animais do  
2 grupo experimental, o movimento ortodôntico foi iniciado no 30º dia e a eutanásia foi  
3 realizada também 32, 44 e 58 dias após o início do experimento, ou seja, após 2, 14  
4 e 28 dias de movimento dentário. Todos os animais foram eutanasiados por  
5 overdose de solução anestésica (Ketamina 270mg/Kg / Xilazina- 30g/Kg), via  
6 intraperitoneal.

7 A administração do etanol e da solução salina ocorreu por via intraperitoneal,  
8 mimetizando o padrão Binge de consumo de etanol, administrado por quatro dias  
9 subsequentes, seguidos por três dias de abstinência.<sup>8</sup> A nicotina (Nicotine  
10 hemisulphate, Sigma-Aldrich Chemicals Pvt Ltd St. Louis, MO, EUA) foi previamente  
11 preparada, diluída em solução salina 0,9% e homogeneizada. Foi administrada por  
12 via subcutânea no dorso dos animais, todos os dias sem intervalo, até o dia da  
13 eutanásia.<sup>3</sup>

14 Todos os animais foram pesados semanalmente, com o auxílio de  
15 balança eletrônica de precisão (Gehaka – BG 4001, São Paulo, Brasil) a fim de  
16 ajustar a dose da substância administrada. A variação da massa corporal foi  
17 calculada pela fórmula: Variação da massa corporal=Massa inicial-Massa final.

18

**Tabela I.** Descrição dos grupos e subgrupos de acordo com a solução utilizada

CONTROLE				EXPERIMENTAL			
GC I n=15	GC II n=21	GC III n=21	GC IV n=21	GE I n=30	GE II n=30	GE III n=30	GE IV n=29
Solução Salina 0,9% (3g/kg/dia)	Nicotina (1mg/kg)	Etanol 20% (3g/kg/dia)	Nicotina (1mg/kg) e Etanol 20% (3g/kg/dia)	Nicotina (1mg/kg)	Solução Salina 0,9% (3g/kg/dia)	Nicotina (1mg/kg) e Etanol 20% (3g/kg/dia)	Nicotina (1mg/kg)

19

## 20 **Movimento ortodôntico**

21 O movimento dentário foi realizado por dispositivo ortodôntico constituído por  
22 uma mola de níquel-titânio que transmitiu força recíproca de 25cN,<sup>15</sup> ao primeiro  
23 molar superior direito e incisivos centrais, mensurada por meio de dinamômetro  
24 (Haag-Streit AG, Koeniz, Suíça), previamente calibrado. Após a ativação inicial, a

1 mola não foi reativada durante o período experimental. No entanto, seu  
2 posicionamento foi conferido diariamente.

3

4

## 5 **Processamento Histotécnico**

6       Após a eutanásia dos animais, as hemimaxilas direitas foram removidas,  
7 armazenadas em formaldeído a 10% e enviadas ao Laboratório de Patologia  
8 Experimental da PUCPR onde as peças foram processadas.

9       Para cada peça foram obtidas 06 secções transversais a partir do terço  
10 cervical da raiz mésio-vestibular do primeiro molar superior, cortadas em micrótomo  
11 com 4µm de espessura, com a superfície oclusal do molar paralela ao micrótomo e  
12 com intervalo de 60 µm entre cada secção.

13       Os cortes corados pela técnica de picrosírius foram avaliados sob microscopia  
14 de luz. As imagens foram capturadas por câmera e analisadas no analisador de  
15 imagens Image-Pro Plus 4.5 (Media Cybernetics, Rockville, MD) para obtenção da  
16 percentagem da área de colágeno maturo e imaturo no osso alveolar.<sup>16</sup> Foi  
17 considerado colágeno do tipo I (colágeno maturo) aquele que apresentasse  
18 coloração vermelho-alaranjada, enquanto o colágeno do tipo III (imaturo) coloração  
19 verde-amarelada.<sup>16</sup> O osso adjacente ao lado distal da raiz foi escolhido para  
20 avaliação, pois durante o movimento ortodôntico o osso é depositado na parede  
21 alveolar do lado de tração.<sup>11</sup>

22

23

## 24 **Taxa de deslocamento dentário**

25       Para a avaliação da taxa de deslocamento dentário, foram realizadas  
26 moldagens dos arcos dentários superiores dos ratos no início (antes da instalação  
27 dos dispositivos ortodônticos) e no final do experimento (logo após a eutanásia).  
28 Para tal, os animais foram anestesiados (pentobarbital sódico – Syntec, Cotia, Brasil)  
29 e moldados com silicone de condensação à base de polidimetilsiloxano (Vigodent  
30 Coltene, Rio de Janeiro, Brasil). Os modelos foram confeccionados com gesso tipo  
31 IV (Durone IV Gesso Pedra, Dentsply, Petrópolis, Brasil).

32       A distância da face palatina do incisivo superior direito até a face mesial do  
33 primeiro molar superior direito foi mensurada com auxílio de paquímetro digital

1 (Absolute-Mitutoyo, Kawasaki-Shi, Japan). O deslocamento dentário foi calculado  
2 pela fórmula: Taxa de deslocamento dentário = Distância Inicial - Distância Final.

3

4

## 5 **Análise Estatística**

6 A análise estatística foi realizada usando o programa SPSS (versão 22.0; IBM  
7 SPSS, Armonk, NY). O nível de significância adotado em todos os testes estatísticos  
8 foi de 0,05.

9 Visando identificar se existia diferença estatisticamente significante nos  
10 valores médios das variáveis: porcentagem de colágeno tipo I no osso alveolar, taxa  
11 de deslocamento dentário e variação de massa corporal, segundo grupo e tempo,  
12 testou-se a normalidade dos dados utilizando o teste de Shapiro Wilk. Na seqüência  
13 foi testada a homogeneidade das variâncias entre diferentes tratamentos usando  
14 teste de homogeneidade de variância de Levene.

15 Uma vez que os grupos apresentaram distribuição normal ( $p>0,05$ ), a  
16 comparação dos valores médios segundo grupo e tempo foram realizadas utilizando  
17 o teste paramétrico ANOVA a dois critérios, modelo fatorial completo. Quando  
18 ANOVA indicou existir diferença, e quando os tratamentos apresentaram  
19 heterogeneidade de variância ( $p<0,05$ ), a comparação dos tratamentos 2 a 2 foi feita  
20 por meio do teste paramétrico de comparações múltiplas para variâncias  
21 heterogêneas de Games-Howell; caso contrário utilizou-se o teste de comparações  
22 múltiplas de Tukey para variâncias homogêneas. Para cada uma das variáveis  
23 dependentes segundo grupo x tempo, calculou-se o poder observado para cada  
24 fator e para a interação grupo x tempo (*Power analysis*).

25

26

## 27 **RESULTADOS**

28

### 29 **Neoformação óssea**

30 Na avaliação do colágeno tipo I, a comparação de grupos independente de tempo,  
31 para os grupos controle não foi verificada diferença estatisticamente significante  
32 ( $p>0,05$ ), e foi verificada diferença para os grupos experimentais ( $p<0,05$ ).GE III

1 apresentou menor porcentagem de colágeno quando comparado a GE I (10,58%) e  
2 a GE II (11,53%) (Tabela II, pág. 10) (Poder do teste >90%).

3 Na relação grupo x tempo, ao comparar os grupos controle entre si, não foi  
4 verificada diferença estatisticamente significante ( $p>0,05$ ) (Tabela III, pág. 10). Na  
5 comparação dos grupos experimentais entre si, foi observada diferença  
6 estatisticamente significante no 28º dia, tendo o GE IV apresentado menor  
7 porcentagem de colágeno (15,72%) do que o GE I ( $p<0,05$ ) (Tabela IV, pág. 11)  
8 (Poder do teste >90%).

9 Na comparação entre os grupos controle e os experimentais segundo grupo x  
10 tempo foi encontrada diferença estatisticamente significante ( $p<0,05$ ) (Tabela V,  
11 pág.11). No 28º dia, GE III apresentou menor porcentagem de colágeno (18,45%)  
12 quando comparado a GC III, e GE IV,menor porcentagem de colágeno (21,03%)  
13 quando comparado a GC IV ( $p<0,05$ ) (Poder do teste >90%)

**Tabela II.** Comparações da variável porcentagem de colágeno tipo I (%) entre grupos independente de tempo (Grupo Experimental)

Média ± DP				Comparações						
GE I	GE II	GE III	GE IV	GE I x GE II	GE I x GE III	GE I x GE IV	GE II x GE III	GE II x GE IV	GE III x GE IV	Poder do teste
88,72 ±8,99	89,67 ±6,91	79,33 ±11,98	87,62 ±10,24	0,9998 <b>0,0241</b>	0,9998 <b>0,0039</b>	0,9846 0,9846	0,1017 0,1017	1,0000 1,0000		

\*Nível de significância do teste Games-Howell:  $p<0,05$ .

**Tabela III.** Comparações da variável porcentagem de colágeno tipo I (%) na relação grupo x tempo (Grupo Controle)

Média ± DP				Comparações							
Grupos/ Tempo	GC I	GC II	GC III	GC IV	GC I x GC II	GC I x GC III	GC I x GC IV	GC II x GC III	GC II x GC IV	GC III x GC IV	Poder do teste
2 Dias	97,45 ± 0,99	97,79 ± 0,34	92,89 ± 1,21	95,29 ± 1,08	1,0000 0,4589	0,9917 0,9917	0,1918 0,7963	0,7963 0,9915	0,9915 0,9915		
14 Dias	93,45 ± 1,79	90,01 ± 1,77	94,44 ± 0,70	95,85 ± 0,43	0,9940 1,0000	0,9867 0,9867	0,7490 0,9883	0,9883 0,9632	0,9632 1,0000		
28 Dias	96,35 ± 1,18	93,33 ± 2,62	98,41 ± 0,42	97,77 ± 0,47	0,9997 0,9536	0,9985 0,9985	0,8973 0,9575	0,9575 0,9999	0,9999 0,9999		

\*Nível de significância do teste Games-Howell:  $p<0,05$ .

Grupo Controle(GC): GC I – Solução Salina, GC II – Nicotina, GC III – Etanol, GC IV – Nicotina e etanol. Grupo Experimental(GE): GE I – Solução salina, GE II – Nicotina, GE III – Etanol e GE IV – Nicotina e etanol.

**Tabela IV.** Comparações da variável porcentagem de colágeno tipo I (%) na relação grupo x tempo (Grupo Experimental)

Grupos/ Tempo	Média ± DP				Comparações				Poder do teste
	GE I	GE II	GE III	GE IV	GE I x GE II	GE I x GE III	GE I x GE IV	GE II x GE III	
2 Dias	86,94 ± 2,54	93,95 ± 1,77	73,49 ± 4,32	91,59 ± 2,26	0,7952	0,5631	0,9979	0,0633	1,0000
14 Dias	87,61 ± 3,62	89,18 ± 1,84	84,26 ± 2,97	93,02 ± 2,61	1,0000	0,9999	0,9995	0,9962	0,9996
28 Dias	91,60 ± 2,23	85,88 ± 2,27	80,25 ± 3,49	77,20 ± 2,45	0,9626	0,5301	<b>0,0448</b>	0,9977	0,6083
									1,0000

\*Nível de significância do teste Games-Howell:  $p<0,05$ .

**Tabela V.** Comparações da variável porcentagem de colágeno tipo I (%) na relação grupo x tempo (Controle e Experimental)

Grupos/ Tempo	Média ± DP					Comparações				Poder do teste		
	GC I	GC II	GC III	GC IV	GE I	GE II	GE III	GE IV	GC I x GE I	GC II x GE II	GC III x GE III	GC IV x GE IV
2 Dias	97,45 ± 0,99	97,79 ± 0,34	92,89 ± 1,21	95,29 ± 1,08	86,94 ± 2,54	93,95 ± 1,77	73,49 ± 4,32	91,59 ± 2,26	0,1408	0,8408	0,0811	0,9923
14 Dias	93,45 ± 1,79	90,01 ± 1,77	94,44 ± 0,70	95,85 ± 0,43	87,61 ± 3,62	89,18 ± 1,84	84,26 ± 2,97	93,02 ± 2,61	0,9935	1,0000	0,2915	0,9998
28 Dias	96,35 ± 1,18	93,33 ± 2,62	98,41 ± 0,42	97,77 ± 0,47	91,60 ± 2,23	85,88 ± 2,27	80,25 ± 3,49	77,20 ± 2,45	0,9332	0,8433	<b>0,0329</b>	<b>0,0017</b>

\*Nível de significância do teste Games-Howell:  $p<0,05$ .

1 Grupo Controle(GC): GC I – Solução Salina, GC II – Nicotina, GC III – Etanol, CG IV – Nicotina e etanol. Grupo Experimental(GE): GE I – Solução salina, GE II – Nicotina, GE III – Etanol e GE IV – Nicotina e etanol.  
 2

**Tabela VI.** Comparações da variação da taxa de deslocamento dentário (mm) na relação Grupo x Tempo (Grupos Experimentais)

Grupo/ Tempo	(Média ± DP)				Comparações							
	GE I	GE II	GE III	GE IV	GE I x GE II	GE I x GE III	GE I x GE IV	GE II x GE III	GE II x GE IV	GE III x GE IV	Poder do teste	
2 dias	,6833 ± ,58452	,4538 ± ,51416	,9571 ± ,65792	,6933 ± ,66490	0,9999	0,9977	1,0000	1,0000	1,0000	1,0000	0,9910	
14 dias	,3000 ± ,25298	,3000 ± ,30128	,5444 ± ,69841	,4400 ± ,49486	1,0000	0,9986	1,0000	1,0000	0,9983	1,0000	0,6686	
28 dias	,5400 ± ,51769	,3643 ± ,31527	,3889 ± ,27131	,5818 ± ,47920	<b>0,0479</b>	1,0000	1,0000	0,303	0,9629	0,9993		

\* Nível de significância adotado pelo teste de Tukey:  $p<0,05$ .

**Tabela VII.** Médias e desvios padrão da variação de massa corporal (g) nos grupos Controle (C) e Experimental (E)

Grupos/ Tempos	Média ± DP				Comparações								Poder do teste
	GC I	GC II	GC III	GC IV	GE I	GE II	GE III	GE IV	GC I x GE I	GC II x GE II	GC III x GE III	GC IV x GE IV	
2 Dias	-7,83 ± 16,77	16,57 ± 31,8	9,85 ± 23,95	-5,28 ± 20,02	-3,94 ± 14,09	17,2 ± 9,89	11,6 ± 11,52	9,59 ± 17,05	0,1408	0,8408	0,0811	0,9923	
14 Dias	-20,45 ± 8,79	9,42 ± 10,92	-10,5 ± 10,58	-9,71 ± 8,44	-1,80 ± 18,80	-0,71 ± 15,81	3,50 ± 22,22	7,0 ± 14,75	0,9935	1,0000	0,2915	0,9998	0,998
28 Dias	-12,00 ± 14,1	-21,00 ± 7,74	-2,62 ± 19,46	-10,57 ± 12,5	-0,70 ± 25,5	6,89 ± 23,81	20,70 ± 16,9	25,44 ± 12,6	0,9332	0,8433	<b>0,0329</b>	<b>0,0017</b>	

\* Nível de significância do teste Games-Howell:  $p<0,05$ .

Grupo Controle(GC): GC I – Solução Salina, GC II – Nicotina, GC III – Etanol, CG IV – Nicotina e etanol. Grupo Experimental(GE): GE I – Solução salina, GE II – Nicotina, GE III – Etanol e GE IV – Nicotina e etanol.

1    **Taxa de deslocamento dentário**

2        Na comparação da taxa de deslocamento dentário entre grupos independente  
3        de tempo, não foi verificada diferença estatisticamente significante ( $p>0,05$ ).

4        Na relação grupo x tempo, os grupos experimentais apresentaram diferença  
5        estatisticamente significante ( $p<0,05$ ). No 28º dia GE II apresentou menor taxa de  
6        deslocamento dentário (32,53%) em relação a GE I ( $p<0,05$ ) (Tabela VI, pág. 12)  
7        (Poder do teste >60%).

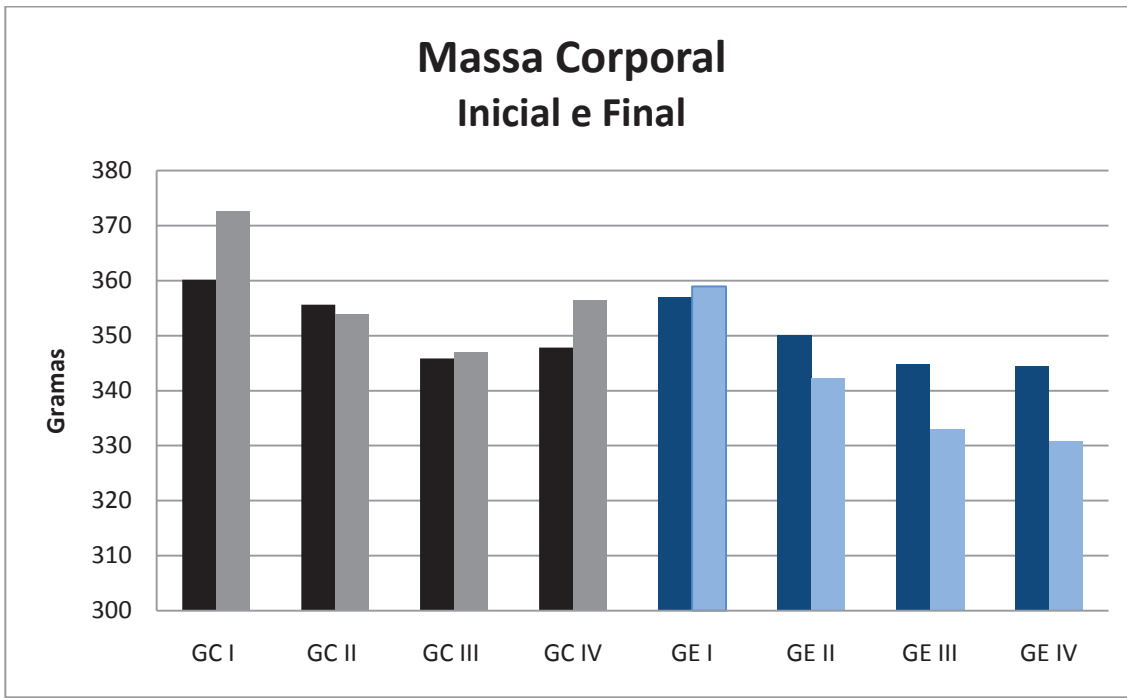
8

9

10      **Massa corporal**

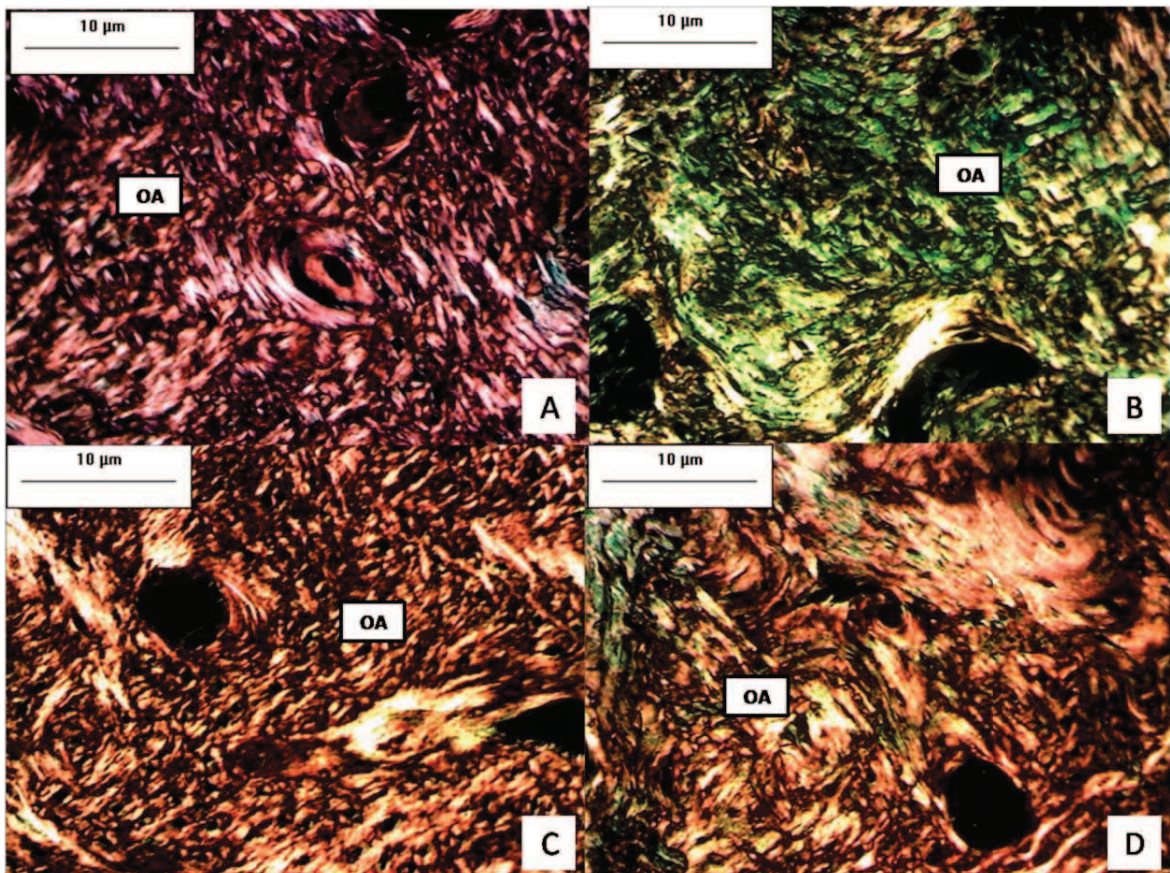
11        Na comparação dos grupos independente de tempo, observou-se que em  
12        todos os grupos controle, exceto no GC II, houve aumento da massa corporal  
13        (Figura 1, pág. 14) e em todos os grupos experimentais, exceto em GE I, ocorreu a  
14        diminuição da massa corporal dos ratos (Figura 1, pág. 14).

15        Foi observada diferença estatisticamente significante na variação de massa  
16        corporal dos ratos na relação grupo x tempo ( $p<0,05$ ) (Tabela VII, pág. 12). No 28º  
17        dia, GC IV apresentou menor variação de massa corporal quando comparado a GE  
18        IV. No mesmo tempo, o grupo GC III apresentou menor variação de massa corporal  
19        quando comparado a GE III (Tabela VII, pág. 12) (Poder do teste >90%).



■ Massa corporal inicial - Grupos Controle (GC) ■ Massa corporal inicial - Grupos Experimentais (GE)  
 ■ Massa corporal final - Grupos Controle (GC) ■ Massa corporal final - Grupos Experimentais (GE)

**Figura 1.** Representação da massa corporal dos grupos controle e experimentais no início e no final do experimento.



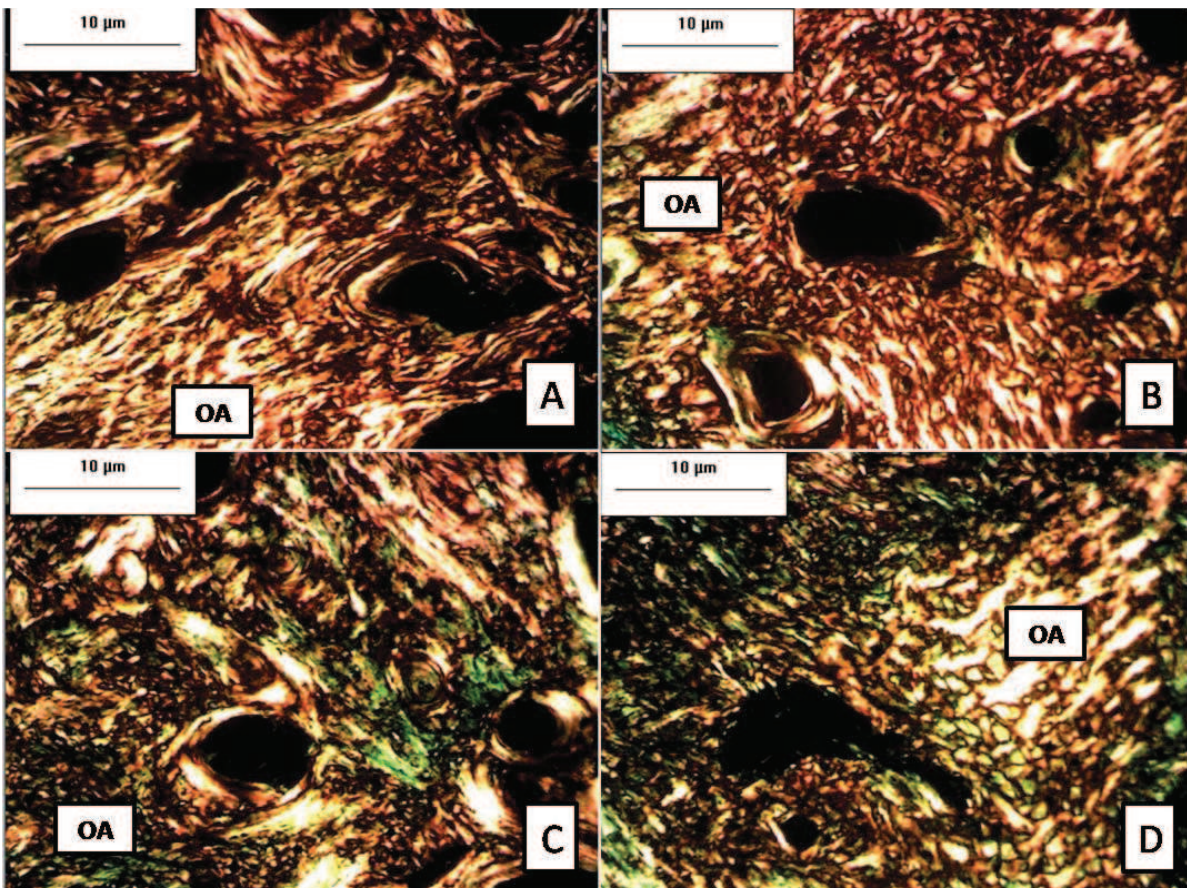
1

2

3 **Figura 2.** Fotomicrografia de lâmina do lado distal da raiz mésio-vestibular do  
 4 primeiro molar superior direito. GCIV- Nicotina + Etanol (A) e GCIII- Etanol (C) com  
 5 predominância de colágeno tipo I; GEIV- Nicotina + Etanol com movimento dentário  
 6 (B) e GEIII- Etanol com movimento dentário (D), com predominância de colágeno  
 7 tipo III, no 28º dia. OA, osso alveolar. Picosírius, magnificação de 200x.

8

9



1

2

3 **Figura 3.** Fotomicrografia de lâmina do lado distal da raiz mésio-vestibular do  
 4 primeiro molar superior direito. GE I- Solução Salina (A), GE II- Nicotina (B), GE III-  
 5 Etanol (C) e GE IV- Nicotina e Etanol (D), no 28º dia. OA, osso alveolar. Picosírius,  
 6 magnificação de 200x.

7

8

## 9 DISCUSSÃO

10

11 Em muitas partes do mundo o álcool e o tabaco são considerados como  
 12 drogas lícitas e são amplamente consumidas pela população.<sup>17</sup> Sabe-se que a  
 13 combinação dessas duas substâncias pode ter efeitos potencialmente nocivos sobre  
 14 a matriz óssea<sup>18,19</sup> e outros tecidos, favorecendo alterações a nível celular, inclusive  
 15 aumentando as chances de desenvolvimento de neoplasias.<sup>20</sup>

16 O padrão Binge de consumo de álcool foi escolhido nesse estudo, por ser o  
 17 método de consumo crônico tipicamente observado entre adolescentes  
 18 americanos,<sup>21</sup> faixa etária esta na qual comumente realizam tratamento

1 ortodôntico.<sup>22</sup> O etanol diluído a 20% foi utilizado por 32, 44 e 58 dias, mesma  
2 dosagem encontrada em alguns estudos como o de Camilli et al<sup>23</sup> que observaram  
3 alterações na osteogênese e que a ação do etanol diminuiu o volume do osso  
4 neoformado em ratos. Da mesma forma, Diez et al<sup>24</sup> observaram que ratos tratados  
5 com álcool 30% por 6 semanas apresentaram redução acentuada no metabolismo  
6 mineral e Sampson<sup>25</sup> usando a mesma dosagem durante 4 semanas concluiu que  
7 vários componentes celulares se apresentaram alterados. Ainda, dosagem menor de  
8 etanol (15%) por 5 semanas, inibiu ou atrasou o processo de reparação de fraturas  
9 em ratos.<sup>26</sup>

10 De modo semelhante aos estudos de Soares et al<sup>3</sup> e Favaro et al,<sup>27</sup> optou-se  
11 pelo uso da nicotina 1mg/Kg, por ser essa dosagem compatível com a concentração  
12 média de nicotina absorvida em tabagistas que consomem de 15 a 20 cigarros por  
13 dia. A administração por via subcutânea foi também empregada em outros  
14 estudos<sup>28,29</sup> e é recomendada pelo fabricante, que afirma que a droga sintética tem  
15 potencial altamente tóxico, devendo ser administrada por uma via de absorção lenta.

16 Em nossos resultados a associação de etanol e nicotina influenciou a  
17 neoformação óssea (Tabela IV, pág. 11) visto que o grupo que recebeu as duas  
18 substâncias e foi submetido à movimentação dentária (GE IV) teve percentual de  
19 colágeno tipo I menor comparado aos outros grupos experimentais, sendo  
20 estatisticamente significante quando comparado ao grupo que recebeu solução  
21 salina (GE I). Nosso resultado mostra-se compatível ao de Vasconcelos et al,<sup>10</sup> que  
22 avaliaram o efeito da associação do etanol e nicotina no osso de ratos com doença  
23 periodontal induzida, e constataram diminuição do volume ósseo neoformado e  
24 alterações na resistência mecânica desse osso.

25 De forma semelhante, Callaci et al<sup>30</sup> verificaram aumento na degradação do  
26 colágeno tipo I sob o efeito do etanol e Klein e Sampson<sup>7,25</sup> comprovaram que o  
27 etanol pode inibir a proliferação de células osteoblásticas, e diminuir a massa óssea,  
28 agindo como elemento tóxico aos órgãos vitais, atuando nocivamente sobre os  
29 tecidos mais resistentes do organismo, como o osso. Ao contrário, Maran et al,<sup>32</sup>  
30 verificaram não haver grande interferência do etanol sobre fibras de colágeno tipo I,  
31 porém esse estudo foi realizado em cultura de osteoblastos fetais humanos e o  
32 etanol foi administrado por 7 dias.

1 Os animais do grupo controle que receberam somente etanol e os que  
2 receberam nicotina e etanol, apresentaram mais colágeno tipo I do que os grupos  
3 correspondentes com movimento dentário. Este resultado era esperado, uma vez  
4 que a maior parte da matriz orgânica é composta por colágeno tipo I, que através do  
5 processo de reabsorção óssea causado pela movimentação dentária é degradado e  
6 posteriormente reparado pela deposição de fibras imaturas de colágeno tipo III.<sup>11,30,32</sup>

7 Em nosso estudo a administração da nicotina, isoladamente, não teve  
8 influência direta sobre a neoformação óssea, visto que o colágeno dos animais que  
9 receberam esta substância foi semelhante ao dos demais grupos. Esse resultado é  
10 contrário ao de Saldanha et al<sup>33</sup> que demonstraram que pequenas doses de nicotina  
11 em cães alterou o tecido ósseo neoformado. Da mesma forma, Shintcovsk et al<sup>5</sup>  
12 verificaram atraso no processo de maturação do colágeno, porém estes autores  
13 usaram nicotina 2 mg/kg, dosagem maior do que a utilizada no presente estudo.

14 Mesmo que em nossos resultados não tenha ocorrido alteração do colágeno  
15 nos grupos que receberam isoladamente a nicotina, a taxa de deslocamento  
16 dentário no 28º dia foi menor nos ratos que receberam essa solução, (GE II) (Tabela  
17 VI, pág. 12), ou seja, a nicotina pareceu atrasar o movimento ortodôntico. Ao  
18 contrário de nossos resultados, Shintcovsk et al<sup>5</sup> e Sodagar et al<sup>4</sup> observaram que  
19 doses diárias de nicotina podem acelerar a movimentação dentária em ratos. As  
20 diferentes dosagens, tempo de exposição e via de administração poderiam justificar  
21 os resultados conflitantes entre as pesquisas.

22 Segundo Hollinger<sup>34</sup>, a deposição de nova matriz óssea está relacionada às  
23 diferentes concentrações de nicotina administradas. No trabalho deste autor os  
24 grupos que não receberam ou receberam doses menores de nicotina apresentaram  
25 maior deposição de osso neoformado, enquanto que os que receberam doses  
26 maiores, isso não ocorreu. King<sup>35</sup> observou em estudo *in vitro*, que a nicotina tem  
27 efeito sobre a proliferação e diferenciação dos osteoblastos, o que pode influenciar o  
28 metabolismo ósseo.

29 A respeito das alterações ósseas encontradas em animais submetidos ao uso  
30 crônico de álcool, existem dúvidas se estas se devem pelo efeito do uso do etanol  
31 ou são consequência de possível deficiência nutricional.<sup>36</sup> Por isso, consideramos  
32 importante o controle da massa corporal dos animais e a adequação das doses das  
33 drogas.

1 Verificamos que os ratos dos grupos GE II, GE III e GE IV apresentaram  
2 diminuição de massa corporal ao longo do experimento (Figura 1, pág 14),  
3 possivelmente devido ao fato desses animais terem sido submetidos à  
4 movimentação ortodôntica, além da administração das soluções. Além disso, os  
5 animais dos grupos experimentais GE III e GE IV que ficaram mais tempo com o  
6 dispositivo ortodôntico (28 dias) apresentaram diminuição de massa corporal em  
7 relação aos animais dos dois grupos controle correspondentes (GC III e GC IV)  
8 (Tabela VII, pág. 12). Segundo King et al<sup>35</sup> o dispositivo ortodôntico instalado na  
9 cavidade bucal dos animais, pode causar grande desconforto, gerando dificuldade  
10 na ingestão de alimentos e consequentemente alteração no peso. Entretanto, os  
11 ratos dos grupos que receberam somente solução salina, com e sem movimento  
12 dentário, tiveram aumento da massa corporal, talvez por não terem sido  
13 influenciados pelos efeitos nocivos da nicotina e/ou do etanol<sup>37</sup> (Figura 1, pág. 14).

14 Os grupos que receberam isoladamente administração de nicotina, com e  
15 sem movimentação dentária, apresentaram diminuição da massa corporal (Figura 1,  
16 pág. 14), corroborando com estudos anteriores<sup>37,38</sup> que comprovaram que esta  
17 substância alcalina age sobre o hipotálamo atuando como inibidor de apetite.

18 Diferentes metodologias têm sido utilizadas para avaliar os efeitos da nicotina  
19 e do álcool sobre o tecido ósseo. No presente estudo observou-se que a associação  
20 do etanol com a nicotina afetou a neoformação óssea no período final avaliado, o  
21 que poderia atrasar o movimento dentário. Da mesma forma, a nicotina  
22 isoladamente diminuiu a quantidade de movimento dentário. Por conseguinte,  
23 baseado nesse estudo é possível inferir que quem possui os hábitos de fumar e  
24 beber ou somente fumar pode ter prejuízo nos processos relacionados ao  
25 movimento ortodôntico. Essa descoberta influencia diretamente no tratamento desse  
26 tipo de paciente, comparado ao paciente não alcoolista e não tabagista: as consultas  
27 devem ser marcadas em intervalos maiores de tempo, e as forças biomecânicas  
28 empregadas devem ser de menor magnitude.

29 Para melhor comprovar os efeitos destas drogas sobre o metabolismo ósseo  
30 e sua influência direta sobre a movimentação dentária, mais estudos devem ser  
31 realizados, como maior tempo de exposição das drogas e de movimento ortodôntico.  
32  
33

1    **CONCLUSÕES**

2

3       A administração de nicotina, etanol, e a associação destas substâncias  
4       durante o movimento ortodôntico em ratos *Wistar* permitiu concluir que:

5

- 6       • A nicotina favoreceu a perda de massa corporal dos animais agindo como  
7       inibidor de apetite.
- 8       • A nicotina e o etanol associados atrasaram a neoformação óssea, diminuindo  
9       a porcentagem de fibras colágenas maduras.
- 10      • A nicotina diminuiu o deslocamento dentário.

11

12

13

14

15

16

17

18

19

20

21

22

23

24

25

26

27

28

29

30

1    **REFERÊNCIAS**

- 2
- 3    1. Zhu BQ, Parmley WW. Hemodynamic and vascular effects of active and passive  
4    smoking. Am Heart J 1995; 130:1270-75.
- 5    2. Theiss SM, Boden SD, Hair G, Titus L, Morone MA, Ugbo J. The effect of nicotine  
6    on gene expression during spine fusion. Spine 2000; 25:2588-94.
- 7    3. Soares EV, Fávaro WJ, Cagnon VH, Bertran CA, Camili JA. Effects of alcohol and  
8    nicotine on the mechanical resistance of bone and bone neoformation around  
9    hydroxyapatite implants. J Bone Miner Metab 2010; 28:101-7.
- 10   4. Sodagar A, Donyavi Z, Arab S, Kharrazifard MJ. Effect of nicotine on orthodontic  
11   tooth movement in rats. Am J Orthod Dentofacial Orthop 2011; 139:261-5.
- 12   5. Shintcovsk RL, Knop L, Tanaka OM, Maruo H. Nicotine effect on bone remodeling  
13   during orthodontic tooth movement: Histological study in rats. Dental Press J Orthod  
14   2014; 19:96-107.
- 15   6. Gao SG, Li KH, Xu M, Jiang W, Shen H, Luo W et al. Bone turnover in passive  
16   smoking female rat: relationships to change in bone mineral density. BMC  
17   Musculoskelet Disord 2011; 12:131.
- 18   7. Klein RF. Alcohol-Induced bone disease: impact of ethanol on osteoblast  
19   proliferation. Alcohol 1997; 21:392-9.
- 20   8. Lieber CS. Alcohol and the liver: metabolism of alcohol and its role in hepatic and  
21   extrahepatic diseases. Mt Sinai J Med. 2000;67:84- 94.
- 22   9. Hogan HA, Argueta F, moe I, Nguyen IP, Sampson W. Adult-onset alcohol  
23   consumption induces osteopenia in female rats. Alcohol Clin Exp Res 2001; 25:746-  
24   54.
- 25   10. Vasconcelos DFP, Silva MAD, Rocha MM, Gibilini C, Vasconcelos ACG, Barros  
26   SP. Effects of simultaneous nicotine and alcohol use in periodontitis progression in  
27   rats: a histomorphometric study. J Clin Exp Dent 2013; 5:95-9.
- 28   11. Wolff J. The law of bone remodeling. Berlin, Germany: Springer-Verlag 1986; 1-  
29   22.
- 30   12. Hamaya M, Mizoguchi I, Sakakura Y, Yajima T, Abiko Y. Cell death of osteocytes  
31   occurs in rat alveolar bone during experimental tooth movement. Calcif Tissue Int  
32   2002; 70:117-26.

- 1 13. World Health Organization Global Information System on Alcohol and Health  
2 (GISAH) (online database). (<http://www.who.int/gho/alcohol>) 2004.
- 3 14. Canadian Council on Animal Care. Guide to the Care and Use of Experimental  
4 Animals. 1997; 1:2.
- 5 15. Ribeiro JS, Maciel JVB, Knop LAH, Machado MN, Grégio AMT, Camargo ES.  
6 Effect of Growth Hormone in Experimental Tooth Movement. Braz Dent  
7 Journal 2013; 24:5.
- 8 16. Borges LF, Gutierrez PS, Marana HR, Taboga SR. Picosirius-polarization  
9 staining method as an efficient histopathological tool for collagenolysis detection in  
10 vesical prolapse lesions. Micron 2007; 38:580-3.
- 11 17. SESSP- Secretaria de Estado da Saúde de SP – Vigilância epidemiológica.  
12 Alcoolismo. (online database). ([http://www.cve.saude.sp.gov.br/htm/dic\\_pr09](http://www.cve.saude.sp.gov.br/htm/dic_pr09)) 2005.
- 13 18. Palmer RM, Wilson RF. Mechanisms of action of environmental factors tobacco  
14 smoking. J Clin Periodontol 2005; 6:180-95.
- 15 19. Jansson, L. Association between alcohol consumption and dental health. J. Clin  
16 Periodontol 2008; 35:379-84.
- 17 20. Castellsagué X, Quintana MJ, Martínez MC, Nieto A, Sánchez MJ, Juan A, et al.  
18 The role of type of tobacco and type of alcoholic beverage in oral carcinogenesis Intl  
19 J Cancer 2004; 108:741-9.
- 20 21. Lauing K, Himes R, Rashwaski R, Strotman P, Callaci JJ. Binge alcohol  
21 treatment of adolescents rats followed by alcohol abstinence associable with site-  
22 specific differences in bone loss and incomplete recovery of bone mass and strength.  
23 Alcohol 2008; 42:649-56.
- 24 22. Almeida AB, Leite ICG. Orthodontic treatment need for Brazilian schoolchildren:  
25 A study using the Dental Aesthetic Index. Dental Press J Orthod 2013; 18:103-9.
- 26 23. Camilli JA, Cunha MR, Bertran CA, Kawachi EY. Subperiosteal hydroxyapatite  
27 implants in rats submitted to ethanol ingestion. Arch Oral Biol 2004; 44:747-53.
- 28 24. Diez A, Serrano S, Cucurull J, Marinoso LL, Bosh J, Prug J, Nogues X, Aubia J.  
29 Acute effects of ethanol on mineral metabolism and trabecular bone in Sprague-  
30 Dawley rats. Calcifiel Tissue Inter 1997; 61:168-71.
- 31 25. Sampson HW. Effects of alcohol consumption on adult and aged bone: a  
32 histomorphometric study of the rat animal model. Alcohol Clin Exp Res 2002;  
33 22:2029-34.

- 1 26. Nyquist F, Halvorsen V, Madsen JE, Nordsletten L, Obrant KJ. Ethanol and its  
2 effects on fracture healing and bone mass in male rats. *Acta Orthop Scand* 1999;  
3 70:212-6.
- 4 27. Fávaro WJ, Cagnon VH. Morphometric and morphological features of the ventral  
5 prostate in rats submitted to chronic nicotine and alcohol treatment. *Tissue Cell* 2006;  
6 38:311-23.
- 7 28. Iwaniec UT, Fung YK, Akhter MP, Haven MC, Haynatzki GR, Cullen DM. Effects  
8 of nicotine on bone and calcitropic hormones in aged ovariectomized rats. *J  
9 Musculoskel Neuron Interact* 2002; 2:469-78.
- 10 29. Pinto JR, Bosco AF, Okamoto T, Guerra JB, Piza IG. Effects of nicotine on the  
11 healing of extraction sockets in rats. A histological study. *Braz Dent J* 2002; 13:3-9.
- 12 30. Callaci JJ, Juknelis D, Patwardhan A, Sartori M, Frost N, Wezeman FH. The  
13 effects of binge alcohol exposure on bone resorption and biomechanical and  
14 structural properties are offset by concurrent bisphosphonate treatment. *Alcohol Clin  
15 Exp Res* 2004; 28:182-91
- 16 31. Maran A, Zhang M, Spelsberg TC, Turner RT. The dose-response effects of  
17 ethanol on the human fetal osteoblastic cell line. *J Bone Miner Res* 2001; 16:270-6
- 18 32. Eriksen EF, Charles P, Melsen F, Mosekilde L, Risteli L, Risteli J. Serum markers  
19 of type I collagen formation and degradation in metabolic bone disease: correlation  
20 with bone histomorphometry. *J Bone Miner Res* 1993; 8:127-32
- 21 33. Saldanha JB, Pimentel SP, Casati MZ, Sallum AW, Sallum EA, Nociti FH.  
22 Histologic evaluation of effect of nicotine administration on bone regeneration, a  
23 study in dogs. *Braz Oral Res* 2004; 18:345-9.
- 24 34. Hollinger JO, Schmitt JM, Hwang K, Soleymani P, Buck D. Impact of nicotine on  
25 bone healing. *J Biomed Mater Res* 1999; 45:294-301.
- 26 35. King GJ, Keeling SD, McCoy EA, Ward TH. Measuring dental drift and  
27 orthodontic tooth movement in response to various initial forces in adult rats. *Am J  
28 Orthod Dentofacial Orthop* 1991; 99:456-65.
- 29 36. Holbrook TL, Connor EB. A prospective study of alcohol consumption and bone  
30 mineral density. *British Medical J* 1993; 306:1506-09.
- 31 37. Frankham P, Cabanac M. Nicotine lowers the body-weight set-point in male rats.  
32 *Appetite* 2003; 41:1-5.

1 38. Grunberg NE, Bowen DJ, Winders SE. Effects of nicotine on body weight and  
2 food consumption in female rats. Psychopharmacology 1986; 90:101-05.

3

4

5

6

7

8

9

10

11

12

13

14

15

16

17

18

19

20

21

22

23

24

25

26

27

28

29

30

31

32

33

1  
2  
3  
4  
5  
6  
7  
8  
9  
10  
11  
12  
13

## **2. ARTIGO EM INGLÊS**

1   TITLE PAGE

2

3   **EFFECT OF NICOTINE AND ETHANOL IN BONE NEOFORMATION DURING**  
4   **ORTHODONTIC MOVEMENT IN RATS**

5

6   **Adriana Cristina Rocha,**

7   Pontifícia Universidade Católica do Paraná, Curitiba, Brazil

8   School of Health and Biosciences

9   Postgraduate Program in Dentistry – Orthodontics

10   Email: adricristina.rocha@gmail.com

11

12   **Aline Cristina Batista Rodrigues Johann, CD, PhD**

13   Pontifícia Universidade Católica do Paraná, Curitiba, Brazil.

14   School of Health and Biosciences

15   Postgraduate Program in Dentistry – Stomatology

16   Email: aline.johann@pucpr.br

17

18   **Elisa Souza Camargo, CD, PhD**

19   Pontifícia Universidade Católica do Paraná, Curitiba, Brazil

20   School of Health and Biosciences

21   Postgraduate Program in Dentistry – Orthodontics

22   Email: escamargo@uol.com.br

23

24   Corresponding author

25   **Profa. Dra. Elisa Souza Camargo, CD, PHD**

26   Pontifícia Universidade Católica do Paraná, Escola de Saúde e Biociências

27   Programa de Pós-graduação em Odontologia – Ortodontia

28   Rua Imaculada Conceição, 1155, Bairro Prado Velho

29   CEP: 80215-901 – Curitiba, Paraná, Brasil

30   Fone: (55) 41 32711637/ Fax (55) 41 32711405

31   E-mail: escamargo@uol.com.br

32

33

1   **ABSTRACT**

2

3   **Introduction:** The objective of this research was to evaluate the action of 1 mg/kg of  
4   nicotine and 20% ethanol on bone formation and tooth displacement during  
5   orthodontic movement. **Methods:** Two hundred male Wistar rats were divided into 4  
6   control groups (CGs) without tooth-movement devices (CG I: saline; CG II: nicotine;  
7   CG III: ethanol; and CG IV: nicotine and ethanol), and 4 experimental groups (EGs),  
8   with tooth-movement devices (EG I: saline, EG II: nicotine; EG III: ethanol; and EG  
9   IV: nicotine and ethanol). After 30 days of drug administration, an orthodontic device  
10   applying 25 cN of force was installed in the EGs to mesialize the first maxillary  
11   molars. The rats were killed at 32, 44, and 58 days after the start of the experiment.  
12   The collagen was evaluated by picrosirius red staining, and tooth displacement rates  
13   were measured on dental casts. Data were analyzed statistically. **Results:** After 28  
14   days, EG IV showed a lower percentage of type I collagen formation (15.72%) than  
15   EG I ( $p<0.05$ ); and EG III and also showed a smaller percentage of type I collagen  
16   than CG II (18.45%) and CG III (21.03%), respectively ( $p <0.05$ ). On day 28, EG II  
17   showed a lower tooth displacement rate (32.53%) than EG I ( $p<0.05$ ). **Conclusions:**  
18   Nicotine and ethanol were associated with delayed bone formation and decreases in  
19   the percentage of mature collagen fiber formation. Further, nicotine decreased tooth  
20   displacement rates.

21

22

23

24

25

26

27

28

29

30

1   **INTRODUCTION**

2

3         Nicotine (*Nicotianatabacum*) is the most active component present in tobacco  
4         and directly or indirectly affects cell metabolism. It also has negative effects on  
5         homeostasis in the cardiovascular system, autonomic nervous system, endocrine  
6         system, and bone.<sup>1, 2, 3</sup> As the main component of cigarettes, it has a negative effect  
7         on bone tissue and may cause vasoconstriction and thrombosis, stimulate tissue  
8         ischemia, increase peri-implant loss, and reduce the activity of osteogenic bone  
9         cells.<sup>1</sup> Smoking can thus negatively influence orthodontic treatment, as it interferes  
10      in the bone remodeling process that is essential for tooth movement.<sup>4, 5</sup> However,  
11      Gao et al<sup>6</sup> reported that the mechanisms by which cigarettes have a negative effect  
12      on bone are not well understood.<sup>6</sup>

13         Alcohol can also change the process of bone remodeling both directly and  
14      indirectly: directly, because excessive alcohol consumption compromises the bone  
15      formation process by inhibiting the activity of osteoblasts,<sup>7</sup> and indirectly, because too  
16      much alcohol can cause biochemical changes in bone tissue through the decrease in  
17      DNA synthesis and the acceleration of osteoblast apoptosis.<sup>5</sup> Ethanol also acts on  
18      the modulation of hormones regulating metabolism (vitamin D metabolites,  
19      parathyroid hormone, and calcitonin) and may cause liver disease and nutritional  
20      disability.<sup>8</sup> The effect of alcohol on bone tissue appears to be influenced by the  
21      individual's stage of development, the time of consumption, the consumption level,  
22      and the individual's gender.<sup>12</sup> There is evidence that alcohol causes an imbalance in  
23      bone remodeling, with a predominance of bone resorption in young adults.<sup>9, 10</sup>

24         Orthodontic movement is based on the complex process of bone remodeling,  
25      in which a biomechanical force is applied to a tooth and transmitted to the adjacent  
26      tissues; events that cause chemical, mechanical, and cellular changes.<sup>11, 12</sup> Soares et  
27      al<sup>3</sup> concluded that ethanol or nicotine consumption can independently cause negative  
28      effects on the bone, including reducing bone formation around implants. However,  
29      when ethanol and nicotine are administered simultaneously, the negative effects on  
30      bones increase.<sup>3</sup>

31         A significant proportion of the world's population both drink alcohol and smoke  
32      cigarettes;<sup>13</sup> some also do so while undergoing orthodontic treatment. Knowing the  
33      influence of these solutions on bone tissue and the fact that orthodontic treatment is

1 a bone-dependent process, it is important to evaluate the possible effects of nicotine  
2 and ethanol, as well as the combination of these substances, in induced tooth  
3 movement.

4 As our literature review indicated, no studies have specifically examined the  
5 effects of both alcohol and nicotine on tooth movement; therefore, the objective of  
6 this study was to evaluate bone formation and tooth displacement during orthodontic  
7 movement in rats, under the action of 1 mg/kg of nicotine daily and 20% ethanol  
8 using the binge pattern standard.

9

10

## 11 MATERIAL AND METHODS

12

13 This study was approved by the Ethics Committee for Animal Use in Research  
14 of the Pontifíca Universidade Católica do Paraná (PUCPR) (# 779).

15

### 16 Sample

17 The study sample consisted of 200 male *Wistar* rats (*Rattusnorvegicus*  
18 *albinos*), approximately 9 weeks old and, weighing 300–350 grams. The animals  
19 were supplied and maintained by the vivarium of the PUCPR, where all care in  
20 relation to hygiene, lighting, ventilation, and feeding were observed following the  
21 recommendations and ethical guidelines of the Canadian Council on Animal Care.<sup>14</sup>

22 The animals had access to water and *ad libitum* food, throughout the  
23 experiment. Before installation of the tooth movement devices, the rats were provided  
24 with solid food; after device installation, the food was served crushed to prevent any  
25 damage to the orthodontic appliances and to facilitate the feeding of animals.

26 The rats were randomly divided into 8 groups (Table I, p. 30). The solution  
27 administration was performed throughout the experimental period for all groups. The  
28 control group (CG) animals were killed by overdoses of anesthetic (270 mg/kg of  
29 ketamine and 30 g/kg of xylazine) injected intraperitoneally at 32, 44, and 58 days  
30 after beginning of the experiment, according to the sub-group they had been  
31 assigned. In the experimental group (EG) animals, orthodontic movement was  
32 initiated on day 30, and the rats were killed on days 32, 44, and 58 after the start of  
33 the experiment, after 2, 14, and 28 days of tooth movement, respectively.

1           Ethanol and saline were administered intraperitoneally. The ethanol was set at  
2 binge-pattern levels to mimic the pattern of use, and administered continuously for 4  
3 days, followed by 3 days of abstinence.<sup>8</sup> Nicotine (Nicotine hemisulphate; Sigma-  
4 Aldrich Chemical, St. Louis, MO, USA), prepared previous to the experiment, was  
5 homogenized and diluted using saline for a concentration of 1 mg/kg, and  
6 subcutaneously administered on the backs of the animals every day until  
7 euthanasia.<sup>3</sup>

8           All animals were weighed every week, with the aid of an electronic precision  
9 balance scale (Gehaka - BG 4001, São Paulo, Brazil) in order to adjust doses of the  
10 administered substances. The changes in body mass were calculated by subtracting  
11 the rat's final masses from their initial masses.

12

**Table I.** Description of the groups according to the substance used

CONTROL				EXPERIMENTAL			
CG I n=15	CG II n=21	CG III n=21	CG IV n=21	EG I n=30	EG II n=30	EG III n=30	GEG IV n=29
Saline 0,9% (3g/kg/day)	Nicotine (1mg/kg)	Ethanol 20% (3g/kg/dia)	Nicotine (1mg/kg) and Ethanol 20% (3g/kg/day)	Saline 0,9% (3g/kg/day)	Nicotine (1mg/kg)	Ethanol 20% and Ethanol 20% (3g/kg/day)	Nicotine (1mg/kg)

13

#### 14 Orthodontic movement

15           Tooth movement was carried out using an orthodontic device consisting of a  
16 nickel-titanium spring that transmitted a reciprocal force of 25cN<sup>15</sup> on the first upper  
17 right molar and the central incisor, measured by a previously calibrated dynamometer  
18 (Haag-Streit AG, Koeniz, Switzerland). After the initial activation, the spring was not  
19 reactivated during the experiment; however, its position was checked daily.

20

21

22

23

1

2 **Histotechnical processing**

3 Following euthanasia, the right hemimaxillas of the animals were removed,  
4 stored in 10% formaldehyde, and sent to the Experimental Pathology Laboratory of  
5 the PUCPR for processing.

6 For each piece, we obtained 6 cross-sections from the cervical third of the  
7 mesiobuccal maxillary first molar root, cut into 4- $\mu$ m-thick sections, with the occlusal  
8 surface of the molar parallel to the microtome and an interval of 60  $\mu$ m between each  
9 section.

10 The picrosirius cuts were evaluated using light microscopy. The images were  
11 captured and analyzed in the morphometry program of the Image Pro-Plus 4.5  
12 software (Media Cybernetics, Rockville, MD) to obtain the percentage of mature and  
13 immature collagen areas in the alveolar bone.<sup>16</sup> Type I collagen (mature collagen)  
14 presented as a red-orange color, while type III collagen (immature) presented as a  
15 yellow-green color.<sup>16</sup> The adjacent bone distal side of the root was chosen for  
16 evaluation, because during orthodontic movement, bone is deposited in the alveolar  
17 wall of the side traction side.<sup>11</sup>

18

19

20 **Tooth displacement rate**

21 To assess the rate of displacement, dental impressions were taken of the  
22 upper dental arch of the rats at the beginning (before installation of the orthodontic  
23 devices) and the end of the experiment (after euthanasia). To this end, the animals  
24 were anesthetized (sodium pentobarbital; Syntec, Cotia, Brazil) and molded with  
25 silicone condensation-based polydimethylsiloxane (Vigodent COLTÈNE, Rio de  
26 Janeiro, Brazil). The models were made of plaster type IV (IV Durone Plaster  
27 Stone;Dentsply, Petrópolis, Brazil).

28 The distance from the upper incisor palatal face up to the mesial surface of the  
29 maxillary right first molar was measured using a digital caliper (Absolute-Mitutoyo,  
30 Kawasaki-Shi, Japan). The rate of tooth displacement was calculated by subtracting  
31 the final distance from the initial distance.

32

33

1

2 **Statistical Analysis**

3 Statistical analysis was performed using SPSS software (version 22.0; SPSS  
4 IBM, Armonk, NY). The significance level for all statistical tests was 0.05.

5 We used the Shapiro-Wilk test to identify any statistically significant  
6 differences in the mean values of the variables of type I collagen percentage in the  
7 alveolar bone, the tooth movement rate, and the variations in body weight, according  
8 to group and time, as well as to test for data normality. Subsequently, we used the  
9 Levene variance homogeneity test to examine the homogeneity of the variances  
10 between different treatments.

11

12 Once the groups were normally distributed ( $p > 0.05$ ), we compared the mean  
13 values according to group and time using the analysis of variance (ANOVA)  
14 parametric test with the 2-criteria, full-factorial design. When the ANOVA indicated  
15 difference, and when the treatments showed heterogeneous variance ( $p < 0.05$ ), we  
16 compared the treatments of the 2 by 2 using a parametric Games-Howell test for  
17 multiple comparisons with heterogeneous variances. Otherwise, we used the  
18 Tukey multiple comparison test for homogeneous variances. For each of the  
19 dependent variables according to group  $\times$  time, we calculated the observed power for  
20 each factor and the interaction of group  $\times$  time (Power analysis).

21

22

23 **RESULTS**

24

25 **Bone Neoformation**

26 In the assessment of type I collagen, the comparison of the independent  
27 groups' time to the control groups' time showed no statistically significant difference  
28 ( $p > 0.05$ ); a difference was observed, however, for the EGs ( $p < 0.05$ ). The EG III  
29 showed lower percentages of collagen formation compared to the EG I (10.58%) and  
30 EG II (11.53%) (Table II, p. 34) (Power analysis > 90%).

31 In the relation of group  $\times$  time, when comparing the CGs to each other, no  
32 statistically significant difference was observed ( $p > 0.05$ ) (Table III, p. 34). In  
33 comparing the EGs with each other, there was a statistically significant difference on

1 day 28; the EG IV smaller percentage of collagen formation (15.72%) than the EG I  
2 ( $p<0.05$ ) (Table IV, p. 35) (*Power analysis.>90%*).

3 In the comparison between the CGs and the EGs according to group x time,  
4 there was a statistically significant difference ( $p<0.05$ ) (Table V, p. 35). On day 28,  
5 EG III showed a lower percentage of collagen formation (18.45%) than CG III, and  
6 EGIV showed a lower percentage of collagen formation (21.03%) than CG IV ( $p<$   
7 0.05) (*Power analysis.>90%*).

**Table II.** Comparisons of the variable percentage of type I collagen (%) among independent groups' time (EGs)

		Mean ± DP				Comparisons				Power analysis	
		EG I	EG II	EG III	EG IV	EG I × EG II	EG I × EG III	EG I × EG IV	EG II × EG III	EG II × EG IV	
		88,72 ±8,99	89,67 ±6,91	79,33 ±11,98	87,62 ±10,24	0,9998 <b>0,0241</b>	0,9998 <b>0,0039</b>	0,9846 0,1017			1,0000

\* Significance level of the Games-Howell test was:  $p<0.05$

**Table III.** Comparisons of the variable percentage of type I collagen (%) in relation group x time (CGs)

Groups/ Time	Mean ± DP				Comparisons				Power analysis	
	CG I	CG II	CG III	CG IV	CG I × CG II	CG I × CG III	CG I × CG IV	CG II × CG III		CG II × CG IV
2 Days	97,45 ± 0,99	97,79 ± 0,34	92,89 ± 1,21	95,29 ± 1,08	1,0000	0,4589	0,9917	0,1918	0,7963	0,9915
14 Days	93,45 ± 1,79	90,01 ± 1,77	94,44 ± 0,70	95,85 ± 0,43	0,9940	1,0000	0,9867	0,7490	0,9883	0,9632
28 Days	96,35 ± 1,18	93,33 ± 2,62	98,41 ± 0,42	97,77 ± 0,47	0,9997	0,9536	0,9985	0,8973	0,9575	0,9999

\* Significance level of the Games-Howell test was:  $p<0.05$

Control Groups (CG): CG I – Saline, CG II – Nicotine, CG III – Ethanol, CG IV – Nicotine and ethanol. Experimental Groups (EG): EG I – Saline, EG II – Nicotine, EG III – Ethanol, EG IV – Nicotine and ethanol.

**Table IV.** Comparisons of the variable percentage of type I collagen (%) in relation group x time (EGs)

Groups/ Time	Mean ± DP				Comparisons				Power analysis
	EG I	EG II	EG III	EG IV	EG I x EG II	EG I x EG III	EG I x EG IV	EG II x EG III	
2 Days	86,94 ± 2,54	93,95 ± 1,77	73,49 ± 4,32	91,59 ± 2,26	0,7952	0,5631	0,9979	0,0633	1,0000
14 Days	87,61 ± 3,62	89,18 ± 1,84	84,26 ± 2,97	93,02 ± 2,61	1,0000	0,9999	0,9995	0,9962	0,9996
28 Days	91,60 ± 2,23	85,88 ± 2,27	80,25 ± 3,49	77,20 ± 2,45	0,9626	0,5301	<b>0,0448</b>	0,9977	0,6083

\* Significance level of the Games-Howell test was:  $p<0.05$ .

**Table V.** Comparison of the variable percentage of type I collagen (%) in relation group x time (CGs and EGs)

Groups/ Time	Mean ± DP				Comparisons				Power analysis
	CG I	CG II	CG III	CG IV	EG I	EG II	EG III	EG IV	
2 Days	97,45 ± 0,99	97,79 ± 0,34	92,89 ± 1,21	95,29 ± 1,08	86,94 ± 2,54	93,95 ± 1,77	73,49 ± 4,32	91,59 ± 2,26	0,8408
14 Days	93,45 ± 1,79	90,01 ± 0,70	94,44 ± 0,43	95,85 ± 3,62	87,61 ± 1,84	89,18 ± 2,97	84,26 ± 2,61	93,02 0,9935	0,0811
28 Days	96,35 ± 1,18	93,33 ± 2,62	98,41 ± 0,42	97,77 ± 0,47	91,60 ± 2,23	85,88 ± 2,27	80,25 ± 3,49	77,20 0,9332	0,9998

\* Significance level of the Games-Howell test was:  $p<0.05$ .

Control Groups (CG): CG I – Saline, CG II – Nicotine, CG III – Ethanol, CG IV – Nicotine and ethanol. Experimental Groups (EG): EG I – Saline, EG II – Nicotine, EG III – Ethanol, EG IV – Nicotine and ethanol.

**Table VI.** Comparisons of the varying tooth displacement rate (mm) in relation group x time (EGs)

Groups/ Time	Mean ± DP				Comparisons				Power analysis
	EG I	EG II	EG III	EG IV	EG I x EG II	EG I x EG III	EG I x EG IV	EG II x EG III	
2 Days	,6833 ± ,58452	,4538 ± ,51416	,9571 ± ,65792	,6933 ± ,66490	0,9999	0,9977	1,0000	1,0000	0,9910
14 Days	,3000 ± ,25298	,3000 ± ,30128	,5444 ± ,69841	,4400 ± ,49486	1,0000	0,9986	1,0000	0,9983	1,0000
28 Days	,5400 ± ,51769	,3643 ± ,31527	,3889 ± ,27131	,5818 ± ,47920	<b>0,0479</b>	1,0000	1,0000	0,9629	0,9993

\* Significance level of the Tukey test: p&lt;0,05.

**Table VII.** Means and standard deviations of body weight changes (g) in the CGs and EGs

Groups/ Time	Mean ± DP					Comparisons				Power analysis		
	CG I	CG II	CG III	CG IV	EG I	EG II	EG III	EG IV	CG I x EG I	CG II x EG II	CG III x EG III	CG IV x EG IV
2 Days	-7,83 ± 16,77	16,57 ± 31,8	9,85 ± 23,95	-5,28 ± 20,02	-3,94 ± 14,09	17,2 ± 9,89	11,6 ± 11,52	9,59 ± 17,05	0,1408	0,8408	0,0811	0,9923
14 Days	-20,45 ± 8,79	9,42 ± 10,92	-10,5 ± 10,58	-9,71 ± 8,44	-1,80 ± 18,80	-0,71 ± 15,81	3,50 ± 22,22	7,0 ± 14,75	0,9935	1,0000	0,2915	0,9998
28 Days	-12,00 ± 14,1	-21,00 ± 7,74	-2,62 ± 19,46	-10,57 ± 12,5	-0,70 ± 25,5	6,89 ± 23,81	20,70 ± 16,9	25,44 ± 12,6	0,9332	0,8433	<b>0,0329</b>	<b>0,0017</b>

\* Significance level of the Games-Howell test was: p&lt;0,05

Control Groups (CG): CG I – Saline, CG II – Nicotine, CG III – Ethanol, CG IV – Nicotine and ethanol. Experimental Groups (EG): EG I – Saline, EG II – Nicotine, EG III – Ethanol, EG IV – Nicotine and ethanol

1      **Tooth displacement rate**

2            When we compared the tooth displacement rates between independent  
3 groups' time, there were no statistically significant differences ( $p>0.05$ ).

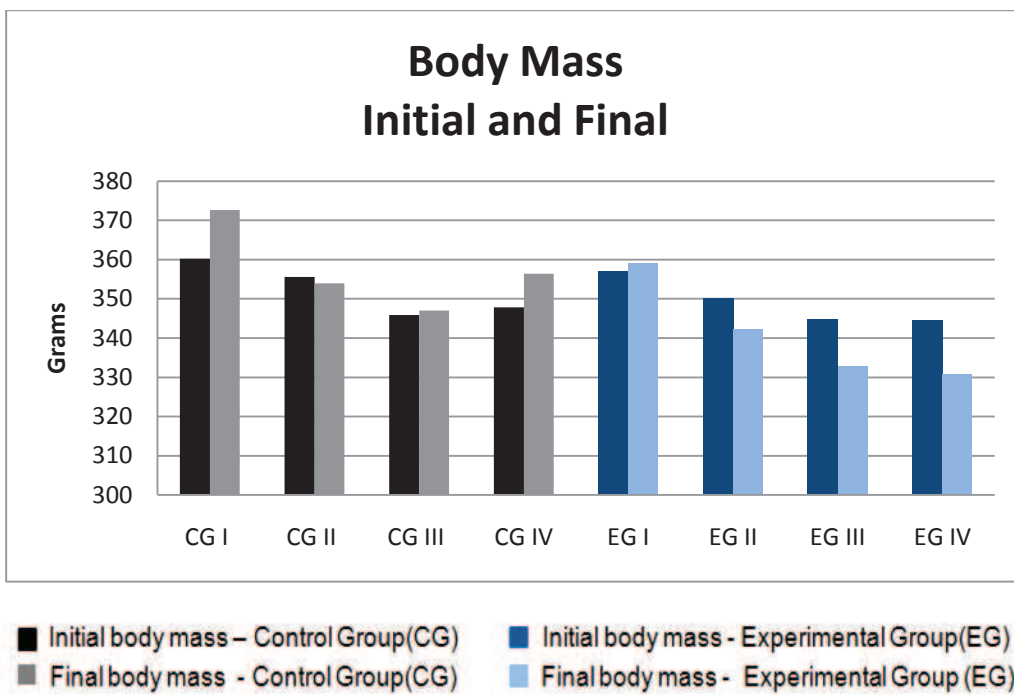
4            In the relationship of group x time, the EGs showed statistically significant  
5 differences ( $p<0.05$ ). On day 28, EG II showed lower tooth displacement rates  
6 (32.53%) in relation to EG I ( $p< 0.05$ ) (Table VI, p. 36) (Power analysis.>60%).

7

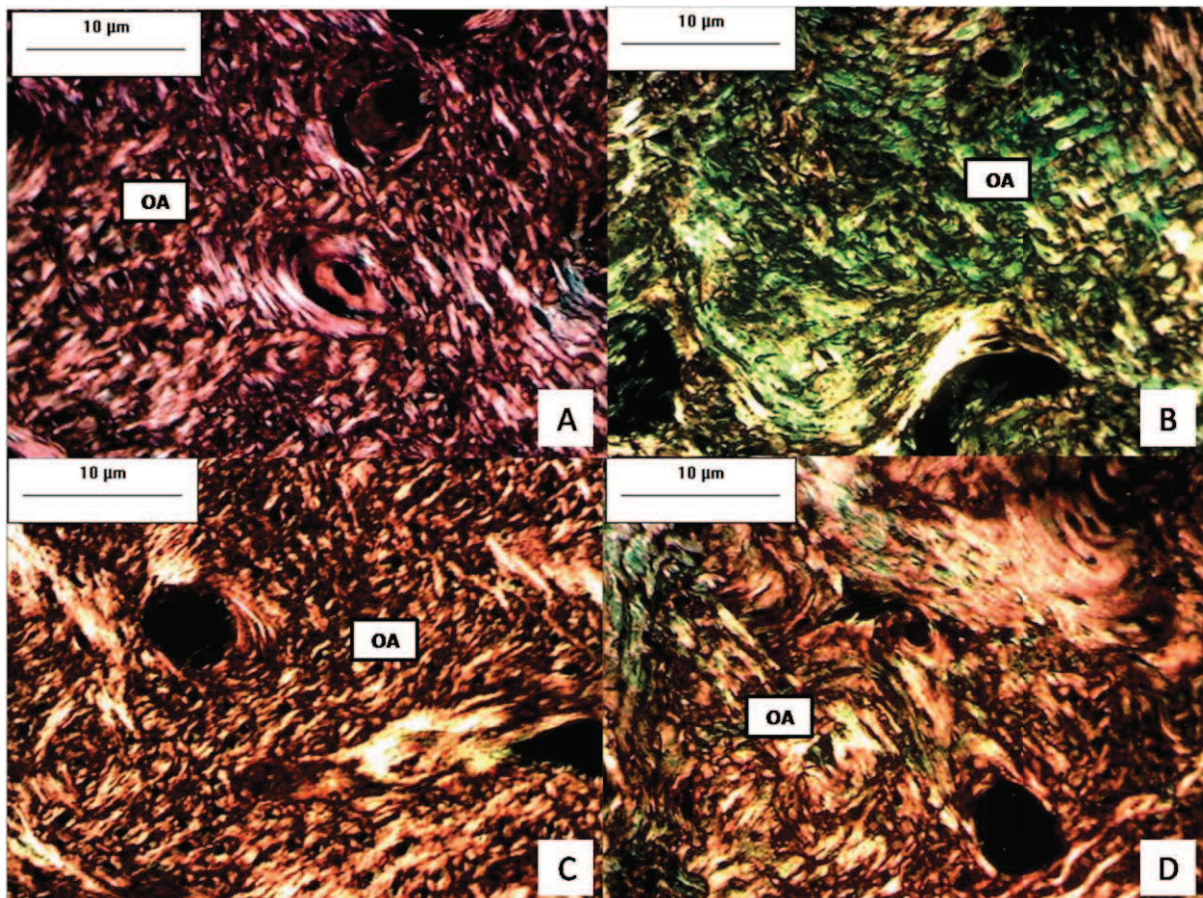
8      **Body Mass**

9            In comparing the groups independently of time, it was observed that in all the  
10 CGs. except for CG II, there was an increase in body weight (Figure 1, p. 38), and for  
11 all the EGs, except for EG I, there was a decrease in body weight (Figure 1, p. 38).

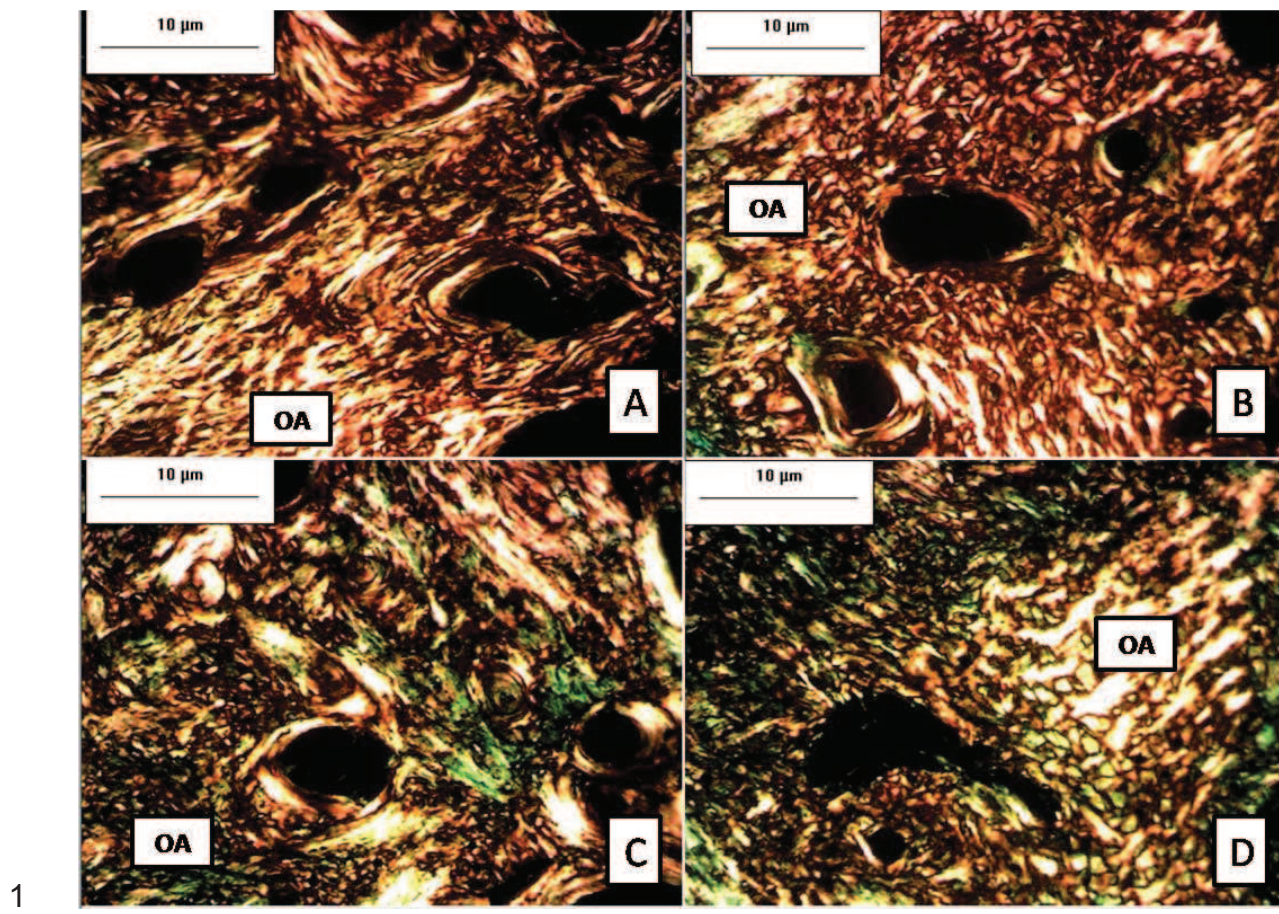
12            There were statistically significant differences in body weight changes in the  
13 rats when they were compared using group  $\times$  time ( $p< 0.05$ ) (Table VII, p. 36). On  
14 day 28, CG IV showed less variation in body mass when compared to EG IV. At the  
15 same time, the CG III group showed less variation in body mass when compared to  
16 EG III (Table VII, p. 36) (Power analysis.>90%).



**Figure 1.** Representation of the body weights for both the control and the experimental groups at the beginning and the end of the experiment.



**Figure 2.** Photomicrograph blade of the distal side of the mesiobuccal root of the maxillary right first molar. The CG IV which received nicotine and ethanol (A), and the CG III, which received ethanol (C), showed a predominance of type I collagen; the EG IV, which received nicotine and ethanol and an orthodontic device for tooth movement (B), and the EG III, which received ethanol and the tooth movement device (D), showed a predominance of type III collagen, on day 28. OA indicates alveolar bone. Picosirus red staining was at a magnification of 200 $\times$ .



1  
2  
3 **Figure 3.** Photomicrograph blade of the distal side of the mesiobuccal root of the  
4 maxillary right first molar. EG I - Saline (A), EG II - Nicotine (B), EG III- Ethanol (C)  
5 and EG IV- Nicotine and Ethanol (D) on 28 day. OA indicates alveolar bone.  
6 Picosirurusred staining was at a magnification of 200 $\times$ .  
7  
8

## 9 DISCUSSION

10  
11 In many parts of the world, alcohol and tobacco are regarded as illegal drugs,  
12 and yet are widely consumed by the population.<sup>20</sup> It is known that the combination of  
13 these 2 substances can have potentially harmful effects on both tissue and bone<sup>21,22</sup>  
14 arrays, as well as causing changes at the cellular level, including increasing the  
15 chances of developing neoplasms.<sup>20</sup>

16 The binge pattern of alcohol consumption was chosen for the study because it  
17 is the chronic consumption method typically observed among American teens,<sup>21</sup> an

age group for which orthodontic treatment is commonly performed.<sup>22</sup> We used ethanol diluted to 20% (and observed bone and tissue changes at days 32, 44 and 58); the same dosage has been used in some studies, such as Camilli et al.<sup>23</sup> who observed changes in osteogenesis, and concluded that the action of ethanol decreased the volume of new bone formation in rats. Likewise, Diez et al<sup>24</sup> reported that mice treated with 30% ethanol for 6 weeks showed a marked reduction in mineral metabolism; Sampson<sup>25</sup> used the same dose for 4 weeks and concluded that several cell components were changed. Furthermore, even lower doses of ethanol (15%) for 5 weeks, can inhibit or delay the fracture repair process in rats.<sup>26</sup>

Similar to the studies of Soares et al<sup>3</sup> and Fávaro et al<sup>27</sup> we opted to use a 1mg/kg dose of nicotine to be compatible with the average concentration of absorbed nicotine in smokers who consume 15–20 cigarettes per day. Subcutaneous administration was also used in other studies.<sup>28, 29</sup> and is recommended by the drug's manufacturer, who indicates that the synthetic drug is highly toxic and should be administered by a route of slow absorption.

In our results, the association of ethanol and nicotine influenced bone formation (Table IV, p. 35), as the group that received both substances and underwent tooth movement (EG IV) showed only a minor percentage of type I collagen formation compared to the other EGs. This was statistically significant when compared to the group receiving saline (EG I). Our result are compatible with those of Vasconcelos et al<sup>10</sup> who evaluated the association effect of ethanol and nicotine on the bone of rats with induced periodontal disease, and reported a reduction of newly formed bone volumes, as well as changes in the bones' mechanical strength.

Similarly, Callaci et al<sup>30</sup> noted an increase in collagen type I degradation under the effect of ethanol. Klein and Sampson<sup>7, 25</sup> proved that ethanol can inhibit the proliferation of osteoblasts and decrease bone mass. Conversely, Maran et al<sup>32</sup> found no significant interference of ethanol on type I collagen fibers, but this study was conducted in cultures of human fetal osteoblasts and ethanol was only administered for 7 days.

The animals in the CG who received only ethanol and those who received nicotine and ethanol, showed more collagen type I formation than the corresponding groups with tooth movement. This result was expected, since most of the organic matrix consists of collagen type I, through which the bone resorption caused by tooth

1 movement is degraded and subsequently repaired by deposition of immature type III  
2 collagen fibers.<sup>11, 30, 32</sup>

3 In our study, the administration of nicotine alone had no direct effect on bone  
4 formation, as the collagen of animals receiving this substance was similar to the other  
5 groups. This result is contrary to the findings of Saldanha et al<sup>33</sup> who found that small  
6 doses of nicotine in dogs changed newly formed bone. Likewise, Shintcovsk et al<sup>5</sup>  
7 observed delays in the collagen maturation process; however, these authors used 2  
8 mg/kg of nicotine,a higher dose than that used in this study.

9 Even though our results did not indicate alteration of collagen alone in the  
10 groups that received nicotine, dental displacement rates at day 28 were smaller in  
11 rats that received this solution (EG II) (Table VI, p. 35), indicating that nicotine  
12 appeared to delay the orthodontic movement. Unlike our results, Shintcovsk et al<sup>5</sup>  
13 and Sodagar et al<sup>4</sup> found that daily doses of nicotine can accelerate tooth movement  
14 in rats. The various dosages exposure times, and administration routes could justify  
15 the conflicting results between these studies.

16 According to Hollinger,<sup>34</sup> the deposition of new bone matrix is related to the  
17 different administered concentrations of nicotine. Those who either did not receive or  
18 received lower doses of nicotine showed morenew bone deposition, while those who  
19 received higher doses did not. King<sup>35</sup> observed, in an in-vitro study, that nicotine had  
20 an effect on the proliferation and differentiation of osteoblasts, which might influence  
21 bone metabolism.

22 Regarding bone changes in animals caused by chronic alcohol use, there are  
23 doubts as to whether these are due to the effect of using ethanol or are the  
24 consequence of possible nutritional impairment.<sup>36</sup> Thus, we consideredit vital to  
25 control the body mass of the animals and the adequacy of the drug doses in relation  
26 to body mass.

27 We found that the rats of groups EG II, GE III and GE IV showed decreases in  
28 body weight throughout the experiment (Figure 1, p. 38), possibly due to the fact that  
29 these animals had been submitted to orthodontic movement, as well as management  
30 solutions. In addition, the animals in EGIII and GE IV who were given more time with  
31 the orthodontic appliance (28 days), showed larger decreasesin body mass  
32 compared to the 2 corresponding CGs (CGIII and GC IV) (Table VII, p. 36).  
33 According to King,<sup>35</sup> orthodontic devices installed in animals' oral cavities can cause

1 great discomfort, difficulty in food intake, and changes in weight. However, the rats of  
2 the groups that received saline only, with and without tooth movement showed  
3 increased body mass, perhaps due to the fact they were not affected by the harmful  
4 effects of nicotine and/or ethanol<sup>37</sup> (Figure 1, p. 38).

5 The groups that received administration of nicotine alone, with and without  
6 tooth movement, showed decreases in body mass (Figure 1, Page 38). This  
7 corroborates studies<sup>37,38</sup> that found that this alkaline substance acts on the  
8 hypothalamus as an appetite suppressant.

9 Different methods have been used to evaluate the effects of nicotine and  
10 alcohol on bone tissue. In the present study, we observed that the combination of  
11 ethanol and nicotine affected bone formation, when assessed at the end of the  
12 experiment, which could hinder tooth movement. Similarly, nicotine alone reduced  
13 the amount of tooth movement. Therefore, based on this study, we can infer that  
14 those who either smoke and drink or only smoke can damage the processes related  
15 to orthodontic movement. However, more studies are required to better demonstrate  
16 the effects of these drugs on bone metabolism and their direct influence on tooth  
17 movement.

18

19

## 20 CONCLUSIONS

21

22 We concluded that the administration of nicotine, ethanol, and the combination  
23 of both during orthodontic movement in rats:

- 24
- 25 • Nicotine favors loss of body mass of the animals acting as an appetite  
supressant;

26

  - 27 • Nicotine and ethanol were associated with delayed bone formation,  
decreasing the percentage of mature collagen fibers;

28

  - 29 • Nicotine decreased tooth displacement.

30

31

32

33

1    **REFERENCES**

- 2
- 3    1. Zhu BQ, Parmley WW. Hemodynamic and vascular effects of active and passive  
4    smoking. Am Heart J 1995; 130:1270-75.
- 5    2. Theiss SM, Boden SD, Hair G, Titus L, Morone MA, Ugbo J. The effect of nicotine  
6    on gene expression during spine fusion. Spine 2000; 25:2588-94.
- 7    3. Soares EV, Fávaro WJ, Cagnon VH, Bertran CA, Camili JA. Effects of alcohol and  
8    nicotine on the mechanical resistance of bone and bone neoformation around  
9    hydroxyapatite implants. J Bone Miner Metab 2010; 28:101-7.
- 10   4. Sodagar A, Donyavi Z, Arab S, Kharrazifard MJ. Effect of nicotine on orthodontic  
11   tooth movement in rats. Am J Orthod Dentofacial Orthop 2011; 139:261-5.
- 12   5. Shintcovsk RL, Knop L, Tanaka OM, Maruo H. Nicotine effect on bone remodeling  
13   during orthodontic tooth movement: Histological study in rats. Dental Press J Orthod  
14   2014; 19:96-107.
- 15   6. Gao SG, Li KH, Xu M, Jiang W, Shen H, Luo W et al. Bone turnover in passive  
16   smoking female rat: relationships to change in bone mineral density. BMC  
17   Musculoskelet Disord 2011; 12:131.
- 18   7. Klein RF. Alcohol-Induced bone disease: impact of ethanol on osteoblast  
19   proliferation. Alcohol 1997; 21:392-9.
- 20   8. Lieber CS. Alcohol and the liver: metabolism of alcohol and its role in hepatic and  
21   extrahepatic diseases. Mt Sinai J Med. 2000;67:84- 94.
- 22   9. Hogan HA, Argueta F, moe I, Nguyen IP, Sampson W. Adult-onset alcohol  
23   consumption induces osteopenia in female rats. Alcohol Clin Exp Res 2001; 25:746-  
24   54.
- 25   10. Vasconcelos DFP, Silva MAD, Rocha MM, Gibilini C, Vasconcelos ACG, Barros  
26   SP. Effects of simultaneous nicotine and alcohol use in periodontitis progression in  
27   rats: a histomorphometric study. J Clin Exp Dent 2013; 5:95-9.
- 28   11. Wolff J. The law of bone remodeling. Berlin, Germany: Springer-Verlag 1986; 1-  
29   22.
- 30   12. Hamaya M, Mizoguchi I, Sakakura Y, Yajima T, Abiko Y. Cell death of osteocytes  
31   occurs in rat alveolar bone during experimental tooth movement. Calcif Tissue Int  
32   2002; 70:117-26.

- 1 13. World Health Organization Global Information System on Alcohol and Health  
2 (GISAH) (online database). (<http://www.who.int/gho/alcohol>) 2004.
- 3 14. Canadian Council on Animal Care. Guide to the Care and Use of Experimental  
4 Animals. 1997; 1:2.
- 5 15. Ribeiro JS, Maciel JVB, Knop LAH, Machado MN, Grégio AMT, Camargo ES.  
6 Effect of Growth Hormone in Experimental Tooth Movement. Braz Dent  
7 Journal 2013; 24:5.
- 8 16. Borges LF, Gutierrez PS, Marana HR, Taboga SR. Picosirius-polarization  
9 staining method as an efficient histopathological tool for collagenolysis detection in  
10 vesical prolapse lesions. Micron 2007; 38:580-3.
- 11 17. SESSP- Secretaria de Estado da Saúde de SP – Vigilância epidemiológica.  
12 Alcoolismo. (online database). ([http://www.cve.saude.sp.gov.br/htm/dic\\_pr09](http://www.cve.saude.sp.gov.br/htm/dic_pr09)) 2005.
- 13 18. Palmer RM, Wilson RF. Mechanisms of action of environmental factors tobacco  
14 smoking. J Clin Periodontol 2005; 6:180-95.
- 15 19. Jansson, L. Association between alcohol consumption and dental health. J. Clin  
16 Periodontol 2008; 35:379-84.
- 17 20. Castellsagué X, Quintana MJ, Martínez MC, Nieto A, Sánchez MJ, Juan A, et al.  
18 The role of type of tobacco and type of alcoholic beverage in oral carcinogenesis Intl  
19 J Cancer 2004; 108:741-9.
- 20 21. Lauing K, Himes R, Rashwaski R, Strotman P, Callaci JJ. Binge alcohol  
21 treatment of adolescents rats followed by alcohol abstinence associable with site-  
22 specific differences in bone loss and incomplete recovery of bone mass and strength.  
23 Alcohol 2008; 42:649-56.
- 24 22. Almeida AB, Leite ICG. Orthodontic treatment need for Brazilian schoolchildren:  
25 A study using the Dental Aesthetic Index. Dental Press J Orthod 2013; 18:103-9.
- 26 23. Camilli JA, Cunha MR, Bertran CA, Kawachi EY. Subperiosteal hydroxyapatite  
27 implants in rats submitted to ethanol ingestion. Arch Oral Biol 2004; 44:747-53.
- 28 24. Diez A, Serrano S, Cucurull J, Marinoso LL, Bosh J, Prug J, Nogues X, Aubia J.  
29 Acute effects of ethanol on mineral metabolism and trabecular bone in Sprague-  
30 Dawley rats. Calcifiel Tissue Inter 1997; 61:168-71.
- 31 25. Sampson HW. Effects of alcohol consumption on adult and aged bone: a  
32 histomorphometric study of the rat animal model. Alcohol Clin Exp Res 2002;  
33 22:2029-34.

- 1 26. Nyquist F, Halvorsen V, Madsen JE, Nordsletten L, Obrant KJ. Ethanol and its  
2 effects on fracture healing and bone mass in male rats. *Acta Orthop Scand* 1999;  
3 70:212-6.
- 4 27. Fávaro WJ, Cagnon VH. Morphometric and morphological features of the ventral  
5 prostate in rats submitted to chronic nicotine and alcohol treatment. *Tissue Cell* 2006;  
6 38:311-23.
- 7 28. Iwaniec UT, Fung YK, Akhter MP, Haven MC, Haynatzki GR, Cullen DM. Effects  
8 of nicotine on bone and calciotropic hormones in aged ovariectomized rats. *J  
9 Musculoskel Neuron Interact* 2002; 2:469-78.
- 10 29. Pinto JR, Bosco AF, Okamoto T, Guerra JB, Piza IG. Effects of nicotine on the  
11 healing of extraction sockets in rats. A histological study. *Braz Dent J* 2002; 13:3-9.
- 12 30. Callaci JJ, Juknelis D, Patwardhan A, Sartori M, Frost N, Wezeman FH. The  
13 effects of binge alcohol exposure on bone resorption and biomechanical and  
14 structural properties are offset by concurrent bisphosphonate treatment. *Alcohol Clin  
15 Exp Res* 2004; 28:182-91
- 16 31. Maran A, Zhang M, Spelsberg TC, Turner RT. The dose-response effects of  
17 ethanol on the human fetal osteoblastic cell line. *J Bone Miner Res* 2001; 16:270-6
- 18 32. Eriksen EF, Charles P, Melsen F, Mosekilde L, Risteli L, Risteli J. Serum markers  
19 of type I collagen formation and degradation in metabolic bone disease: correlation  
20 with bone histomorphometry. *J Bone Miner Res* 1993; 8:127-32
- 21 33. Saldanha JB, Pimentel SP, Casati MZ, Sallum AW, Sallum EA, Nociti FH.  
22 Histologic evaluation of effect of nicotine administration on bone regeneration, a  
23 study in dogs. *Braz Oral Res* 2004; 18:345-9.
- 24 34. Hollinger JO, Schmitt JM, Hwang K, Soleymani P, Buck D. Impact of nicotine on  
25 bone healing. *J Biomed Mater Res* 1999; 45:294-301.
- 26 35. King GJ, Keeling SD, McCoy EA, Ward TH. Measuring dental drift and  
27 orthodontic tooth movement in response to various initial forces in adult rats. *Am J  
28 Orthod Dentofacial Orthop* 1991; 99:456-65.
- 29 36. Holbrook TL, Connor EB. A prospective study of alcohol consumption and bone  
30 mineral density. *British Medical J* 1993; 306:1506-09.
- 31 37. Frankham P, Cabanac M. Nicotine lowers the body-weight set-point in male rats.  
32 *Appetite* 2003; 41:1-5.

1 38. Grunberg NE, Bowen DJ, Winders SE. Effects of nicotine on body weight and  
2 food consumption in female rats. Psychopharmacology 1986; 90:101-05.

3

4

5

6

7

8

9

10

11

12

13

14

15

16

17

18

19

20

21

22

23

24

25

26

27

28

29

30

31

32

33

1  
2  
3  
4  
5  
6  
7  
8  
9  
10  
11  
12  
13

### **3. ANEXOS**

**ANEXO I- PARECER DO COMITÊ DE ÉTICA EM PESQUISA DA PUCPR**

Pontifícia Universidade Católica do Paraná

Núcleo de Bioética

Comitê de Ética no Uso de Animais

Curitiba, 23 de maio de 2013.

**PARECER DE PROTOCOLO DE PESQUISA****REGISTRO DO PROJETO:** 779 – 2ª versão**TÍTULO DO PROJETO:** Efeito da nicotina e etanol na movimentação dentária em ratos wistar**PESQUISADOR RESPONSÁVEL:** Adriana Cristina Rocha**EQUIPE DE PESQUISA:**

Adriana Cristina Rocha, Elisa Souza Camargo

**INSTITUIÇÃO:**

Pontifícia Universidade Católica do Paraná

**ESCOLA / CURSO:**

Escola da Saúde e Biociências / Odontologia

ESPÉCIE DE ANIMAL	SEXO	IDADE / PESO	CATEGORIA	QUANTIDADE
Ratos Wistar	Macho	9 semanas / 300-350g	B	144

O colegiado do CEUA em reunião no dia 23/05/2013, avaliou o projeto e emite o seguinte parecer: **APROVADO**.

PUCPR de forma clara e sucinta, identificando a parte do protocolo a ser modificado e as suas justificativas.

Se houver mudança do protocolo o pesquisador deve enviar um relatório ao CEUA-PUCPR descrevendo de forma clara e sucinta, a parte do protocolo a ser modificado e as suas justificativas.

Se a pesquisa, ou parte dela for realizada em outras instituições, cabe ao pesquisador não iniciá-la antes de receber a autorização formal para a sua realização. O documento que autoriza o início da pesquisa deve ser carimbado e assinado pelo responsável da instituição e deve ser mantido em poder do pesquisador responsável, podendo ser requerido por este CEUA em qualquer tempo.



Lembramos ao pesquisador que é obrigatório encaminhar o relatório anual parcial e relatório final da pesquisa a este CEUA.

  
Atenciosamente,

Prof.ª Marta Luciane Fischer  
Coordenadora  
Comitê de Ética no Uso de Animais



1   **ANEXO II- METODOLOGIA COMPLEMENTAR**

2

3         O presente trabalho foi submetido e aprovado pelo Comitê de Ética para Uso  
4         de Animais em Pesquisa da PUCPR (#779).

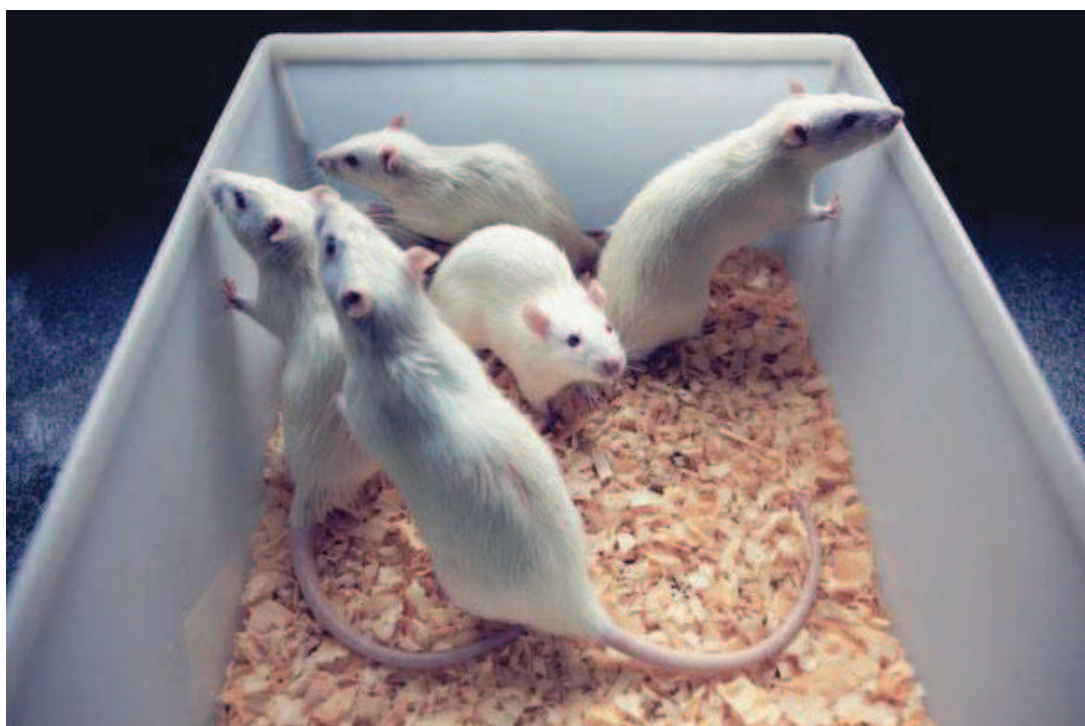
5

6   **Amostra**

7         A amostra foi constituída por 200 ratos machos da linhagem *Wistar* (*Rattus*  
8         *norvegicus albinus*) com aproximadamente 9 semanas de vida, pesando entre 300 –  
9         350g. Os animais foram fornecidos e mantidos pelo Biotério da PUCPR.

10        Os ratos eram mantidos em gaiolas de polipropileno forradas com maravalha  
11       mantendo no máximo 5 ratos por gaiola. A maravalha era trocada pelo menos duas  
12       vezes na semana. A temperatura mantida entre 19° e 22°, umidade em torno dos  
13       55%, o fotoperíodo intercalado em 12 horas claro e 12 horas escuro e a ventilação  
14       fazendo de 15 a 20 trocas de ar por dia. A dieta dos animais era à base de água e  
15       ração *ad libitum* durante todo experimento. Antes da instalação dos dispositivos para  
16       movimentação dentária a ração era fornecida sólida. Após a instalação dos  
17       dispositivos a ração passou a ser fornecida triturada no intuito de prevenir eventuais  
18       danos à aparelhagem ortodôntica e facilitar a alimentação dos animais.

19



20

21   **Fig 1.** Animais nas caixas de polipropileno no biotério PUCPR.

1  
2        O dispositivo consiste em uma mola fechada de níquel-titânio (GAC -  
3 Dentsply) de 9mm, fixada ao primeiro molar superior direito e aos incisivos  
4 centrais, com fio de amarrilho de aço inox (Dental Morelli Ltda. São Paulo, Brasil) de  
5 0,025 milímetros e resina composta fotopolimerizável (Charisma, Heraeus, Hanau,  
6 Germany) medida através de dinamômetro (Haag-Streit AG. Koeniz Switzerland,  
7 Suiça), previamente calibrado. Após a ativação inicial, a mola não foi reativada  
8 durante o período experimental. No entanto, seu posicionamento foi conferido  
9 diariamente.

10



11

12 **Fig 2.** Fotografia ampliada do dispositivo ortodôntico (mola fechada de níquel-titânio  
13 GAC- 9 mm) usado no experimento.

14

15        Os animais foram divididos aleatoriamente em oito grupos (Tabela I, pág. 53),  
16 A administração das substâncias foi realizada durante todo o período experimental,  
17 em ambos os grupos. Os animais do grupo controle foram eutanasiados 32, 44 e 58  
18 dias após início do experimento, conforme subgrupo a que pertenciam. Nos animais  
19 do grupo experimental, o movimento ortodôntico foi iniciado no 30º dia e a eutanásia  
20 foi realizada também 32, 44 e 58 dias após o início do experimento, ou seja, após 2,  
21 14 e 28 dias de movimento dentário.

22        A administração do etanol e da solução salina ocorreu por via intraperitoneal,  
23 mimetizando o padrão Binge de consumo de etanol, administrado por quatro dias  
24 subsequentes seguidos por três dias de abstinência. A nicotina (Nicotine  
25 hemisulphate, Sigma-Aldrich Chemicals Pvt Ltd St. Louis, MO, EUA) foi administrada  
26 via subcutânea, todos os dias sem intervalo até o dia da eutanásia dos animais.

27        Todos os animais foram pesados semanalmente, com o auxílio de  
28 balança eletrônica de precisão (Gehaka – BG 4001, São Paulo, Brasil) a fim de  
29 ajustar a dose da substância administrada.

30

**Tabela I.** Descrição dos grupos e subgrupos de acordo com a solução utilizada

CONTROLE				EXPERIMENTAL			
GC I n=15	GCII n=21	GC III n=21	GC IV n=21	GE I n=30	GE II n=30	GE III n=30	GE IV n=29
Solução Salina 0,9% (3g/kg/dia)	Nicotina (1mg/kg)	Etanol 20% (3g/kg/dia)	Nicotina (1mg/kg) e Etanol 20% (3g/kg/dia)	Nicotina (1mg/kg)	Solução Salina 0,9% (3g/kg/dia)	Nicotina (1mg/kg) e Etanol 20% (3g/kg/dia)	Nicotina (1mg/kg) e Etanol 20% (3g/kg/dia)

## 2 Movimento ortodôntico

O movimento ortodôntico foi realizado por dispositivo ortodôntico que produziu força recíproca de 25cN, no primeiro molar superior direito e nos incisivos centrais, medida com dinamômetro (Haag-Streit AG. Koeniz.Suiça), previamente calibrado. Após a ativação inicial, a mola não foi reativada durante o período experimental, no entanto, seu posicionamento foi conferido diariamente.

8



9

10

**Fig 3.** Fotografia da cirurgia para instalação do dispositivo ortodôntico. Pode-se observar a força sendo mensurada pelo dinamômetro (25cN).

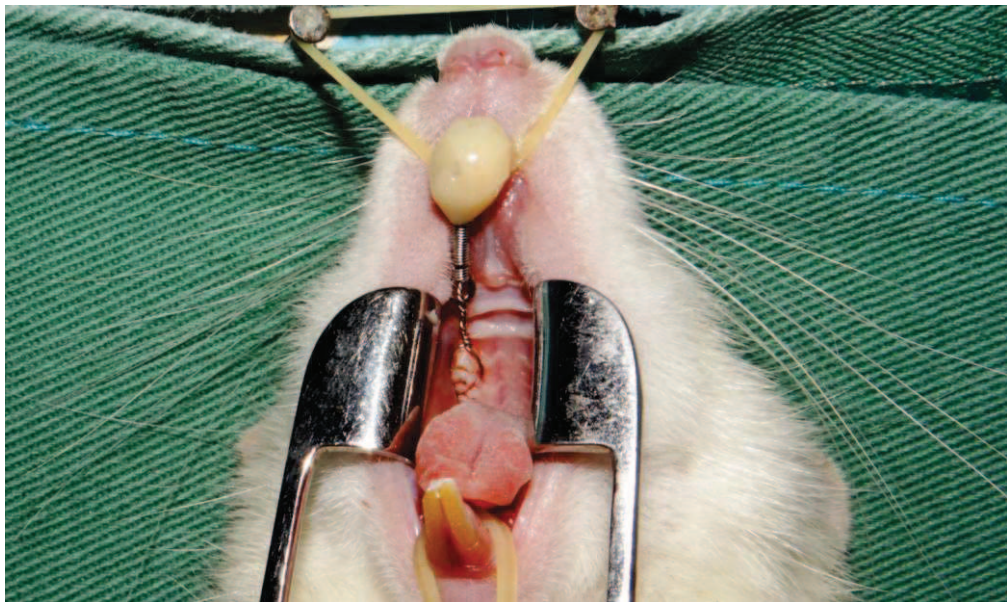


Fig 4. Fotografia do dispositivo ortodôntico instalado. Pode-se observar a mola ativada e a resina composta fixando o dispositivo aos incisivos.

#### Processamento Histotécnico

Os animais foram mortos por overdose de solução anestésica (Ketamina 80ml – 100g/Kg /Xilazina 2% - 1g/Kg), via intraperitoneal e em seguida as hemimaxilas direitas foram removidas, dissecadas e armazenadas em solução de formol a 10% durante 24 horas.

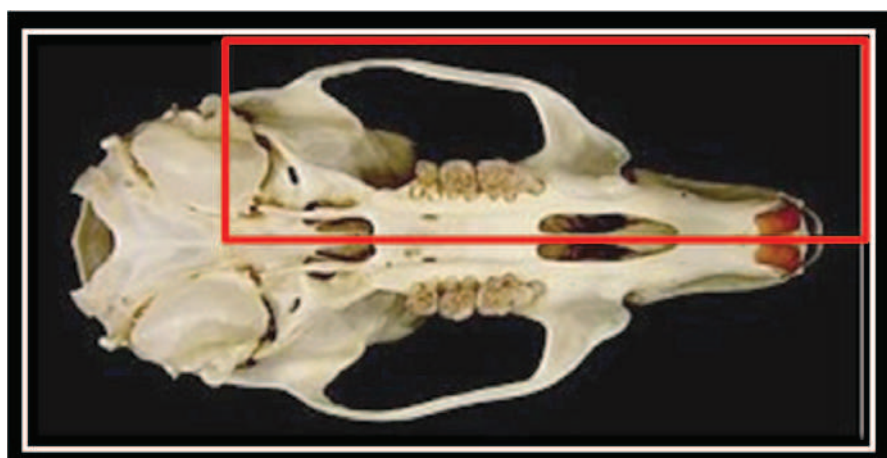


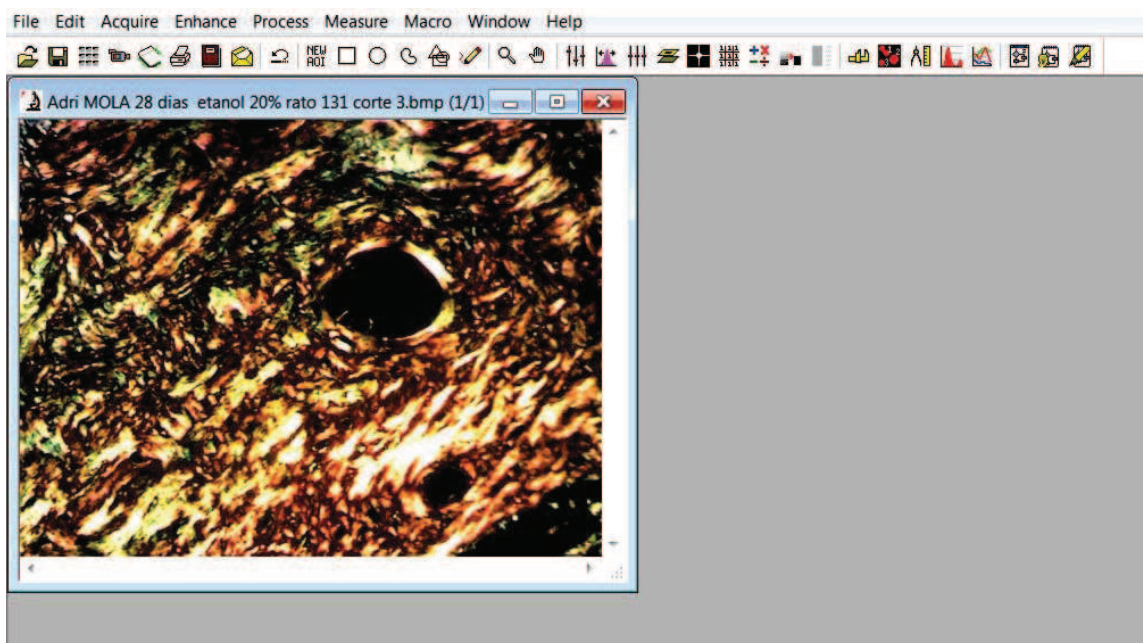
Fig 5. Esquema da secção da peça histológica do crânio do rato. A hemimaxila do lado direito do animal foi selecionada para ser fixada em EDTA a 5% por dois meses.

1           Após dois meses de desmineralização, com solução de  
2 etilenodiaminotetracetodissodico EDTA 5% (Biotec Reagentes Analíticos. Pinhais.  
3 Brasil) a 4.13%, as peças foram processadas e emblocadas em parafina no  
4 Laboratório de Patologia Experimental da PUCPR.

5           Para cada peça foram obtidas 06 secções transversais a partir do terço  
6 cervical da raiz mésio-vestibular do primeiro molar superior, cortadas em micrótomo  
7 com 4 $\mu$ m de espessura, com a superfície oclusal do molar paralela ao micrótomo e  
8 com intervalo de 60  $\mu$ m entre cada secção.

9           Para a coloração histoquímica da técnica picrosírius,após a desparafinização  
10 em xitol as secções foram incubadas em etanol,hidratadas em água destilada e  
11 incubadas por uma hora em solução de Sirius Red (Direct Red80. diluído 0.19% em  
12 ácido pícrico saturado.Sigma-Aldrich Chemicals Pvt Ltd, St. Louis, MO, EUA) em  
13 temperatura ambiente. A seguir, foi realizada lavagem em água destilada,  
14 contracoloração com Hematoxilina de Harris, desidratação em soluções crescentes  
15 de álcool,diafanização em xitol e montagem em Entellan.

16           Os cortes para picrosírius foram avaliados sob microscopia de luz. A imagem  
17 foi capturada utilizando um microscópio Olympus BX-50 (Olympus. Tóquio, Japão)  
18 com lente polarizada Olympus® U-Pot (Olympus. Tóquio, Japão) e acoplado à  
19 microcâmera Dinolite® (Am Mo Eletronics Corporation. New Taipei City 241,Taiwan)  
20 em magnificação de 200X. As imagens foram analisadas no analisador de imagens  
21 Image-Pro Plus 4.5 (Media Cybernetics. Rockville, MD) para obtenção da  
22 percentagem da área de colágeno maturo e imaturo no osso. Foi considerado  
23 colágeno do tipo I (colágeno maturo) aquele que apresentasse coloração vermelho-  
24 alaranjada, enquanto o Colágeno do tipo III (imaturo) coloração verde-amarelada. O  
25 osso adjacente ao lado distal da raiz foi escolhido para avaliação, pois durante o  
26 movimento ortodôntico o osso é depositado na parede alveolar do lado de tração.



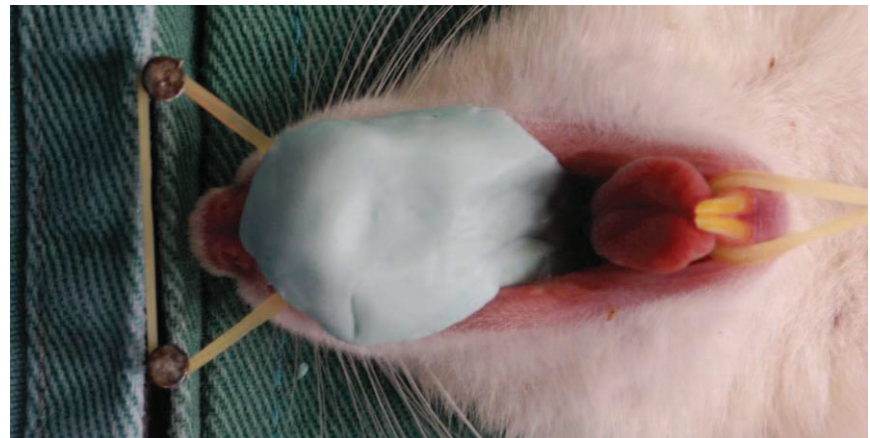
1

2 **Fig 6.** Imagem do programa Image-Pro Plus, no qual foi avaliada a porcentagem de  
3 colágeno do tipo I (colágeno maduro) com coloração vermelho-alaranjada, e o  
4 colágeno do tipo III (imaturo) com coloração verde-amarelada.

5

## 6 **Taxa de deslocamento dentário**

7 Para a avaliação da taxa de deslocamento dentário, foram realizadas  
8 moldagens dos arcos dentários superiores dos ratos no início (antes da instalação  
9 dos dispositivos ortodônticos) e no final do experimento (logo após a eutanásia).  
10 Para tal, os animais foram anestesiados (pentobarbital sódico – Syntec. Cotia, Brasil)  
11 e moldados com silicone de condensação à base de polidimetilsiloxano (Vigodent  
12 Coltene. Rio de Janeiro, Brasil). Os modelos foram confeccionados com gesso tipo  
13 IV (Durone IV Gesso Pedra. Dentsply. Petrópolis, Brasil). A distância da face palatina  
14 do incisivo superior direito até a face mesial do primeiro molar superior direito foi  
15 medida com auxílio de paquímetro digital (Absolute-Mitutoyo. Kawasaki-Shi, Japan).



1

2 **Fig 7.** Fotografia do rato sendo moldado por silicone de condensação, para futura  
3 confecção do modelo de gesso que será medida para avaliar o deslocamento  
4 dentário.



5

6 **Fig 8.** Fotografia do molde do arco dentário superior do rato.

7



8

9 **Fig 9.** Fotografia do modelo de gesso e da distancia entre molar e incisivos sendo  
10 medida com auxilio do paquímetro digital.

11

1    **Análise Estatística**

2            A análise estatística foi realizada usando o programa SPSS (versão 22.0; IBM  
3            SPSS. Armonk. NY). O nível de significância adotado em todos os testes  
4            estatísticos foi de 0.05.

5            Visando identificar se existia diferença estatisticamente significante nos  
6            valores médios das variáveis: porcentagem de colágeno tipo I no osso alveolar e  
7            taxa de movimentação dentária e variação de massa corporal, segundo grupo e  
8            tempo, testou-se a normalidade dos dados utilizando o teste de Shapiro Wilk. Na  
9            seqüência foi testada a homogeneidade das variâncias entre diferentes tratamentos  
10          usando teste de homogeneidade de variância de Levene.

11          Uma vez que os grupos apresentaram distribuição normal ( $p>0.05$ ), a  
12          comparação dos valores médios segundo grupo e tempo foram realizadas utilizando  
13          o teste paramétrico ANOVA a dois critérios, modelo fatorial completo. Quando  
14          ANOVA indicou existir diferença, e quando os tratamentos apresentaram  
15          heterogeneidade de variância ( $p<0.05$ ), a comparação dos tratamentos 2 a 2 foi feita  
16          através do teste paramétrico de comparações múltiplas para variâncias  
17          heterogêneas de Games-Howell, caso contrário utilizou-se o teste de comparações  
18          múltiplas de Tukey para variâncias homogêneas. Para cada uma das variáveis  
19          dependentes segundo grupo x tempo, calculou-se o poder observado para cada  
20          fator e para a interação grupo x tempo (*Power analysis*).

21

22

23

24

25

26

27

28

29

30

31

32

33

1   **ANEXO III- NORMAS PARA PUBLICAÇÃO - AMERICAN JOURNAL OF**  
2   **ORTHODONTICS AND DENTOFACIAL ORTHOPEDICS**

3   *Information for Authors*

4

5   *The American Journal of Orthodontics and Dentofacial Orthopedics* uses the *Elsevier*  
6   *Editorial System (EES)*, an online manuscript submission and review system,  
7   To submit or review an article, please go to the AJO-DO EES  
8   website: <http://ees.elsevier.com/ajodo>,

9

10   Rolf G, Behrents, Editor-in-Chief  
11   E-mail: [behrents@slu.edu](mailto:behrents@slu.edu)  
12   Send other correspondence to:  
13   Chris Burke, Managing Editor  
14   *American Journal of Orthodontics and Dentofacial Orthopedics*  
15   University of Washington  
16   Department of Orthodontics, D-569  
17   HSC Box 357446  
18   Seattle, WA 98195-7446  
19   Telephone (206) 221-5413  
20   E-mail: [ckburke@aol.com](mailto:ckburke@aol.com)

21   **General Information**

22   The *American Journal of Orthodontics and Dentofacial Orthopedics* publishes original  
23   research, reviews, case reports, clinical material, and other material related to  
24   orthodontics and dentofacial orthopedics.

25

26   Submitted manuscripts must be original, written in English, and not published or  
27   under consideration elsewhere. Manuscripts will be reviewed by the editor and  
28   consultants and are subject to editorial revision. Authors should follow the guidelines  
29   below.

30

31   Statements and opinions expressed in the articles and communications herein are  
32   those of the author(s) and not necessarily those of the editor(s) or publisher, and the

1 editor(s) and publisher disclaim any responsibility or liability for such material. Neither  
2 the editor(s) nor the publisher guarantees, warrants, or endorses any product or  
3 service advertised in this publication; neither do they guarantee any claim made by  
4 the manufacturer of any product or service. Each reader must determine whether to  
5 act on the information in this publication, and neither the Journal nor its sponsoring  
6 organizations shall be liable for any injury due to the publication of erroneous  
7 information.

8

### 9 **Ethics in publishing**

10 For information on Ethics in publishing and Ethical guidelines for journal publication  
11 see ▷ <http://www.elsevier.com/publishingethicsand> ▷  
12 <http://www.elsevier.com/journal-authors/ethics>,

13

### 14 **Human and animal rights**

15 If the work involves the use of animal or human subjects, the author should ensure  
16 that the work described has been carried out in accordance with The Code of Ethics  
17 of the World Medical Association (Declaration of Helsinki) for experiments involving  
18 humans ▷ <http://www.wma.net/en/30publications/10policies/b3/index.html>; EU  
19 Directive 2010/63/EU for animal experiments ▷  
20 [http://ec.europa.eu/environment/chemicals/lab\\_animals/legislation\\_en.htm](http://ec.europa.eu/environment/chemicals/lab_animals/legislation_en.htm); Uniform  
21 Requirements for manuscripts submitted to Biomedical journals ▷  
22 <http://www.icmje.org>. Authors should include a statement in the manuscript that  
23 informed consent was obtained for experimentation with human subjects. The privacy  
24 rights of human subjects must always be observed.

25

### 26 **Guidelines for Original Articles**

27

28 Submit Original Articles via EES: ▷ <http://ees.elsevier.com/ajodo>,

29

30 1, *Title Page*. Put all information pertaining to the authors in a separate document,  
31 include the title of the article, full name(s) of the author(s), academic degrees, and  
32 institutional affiliations and positions; identify the corresponding author and include  
33 an address, telephone and fax numbers, and an e-mail address. This information will

1 not be available to the reviewers.

2

3 2, *Abstract*. Structured abstracts of 200 words or less are preferred, A structured  
4 abstract contains the following sections: Introduction, describing the problem;  
5 Methods, describing how the study was performed; Results, describing the primary  
6 results; and Conclusions, reporting what the authors conclude from the findings and  
7 any clinical implications.

8

9 3. *Manuscript*. The manuscript proper should be organized in the following sections:  
10 Introduction and literature review, Material and Methods, Results, Discussion,  
11 Conclusions, References, and figure captions. Express measurements in metric  
12 units, whenever practical. Refer to teeth by their full name or their FDI tooth number.  
13 For style questions, refer to the *AMA Manual of Style, 10th edition*, Cite references  
14 selectively, and number them in the order cited, Make sure that all references have  
15 been mentioned in the text, Follow the format for references in "Uniform  
16 Requirements for Manuscripts Submitted to Biomedical Journals" (Ann Intern Med  
17 1997;126:36-47); ↳ <http://www.icmje.org>, Include the list of references with the  
18 manuscript proper. Submit figures and tables separately (see below); do not embed  
19 figures in the word processing document.

20

21 4. *Figures*. Digital images should be in TIF or EPS format, CMYK or grayscale, at  
22 least 5 inches wide and at least 300 pixels per inch (118 pixels per cm), Do not  
23 embed images in a word processing program, If published, images could be reduced  
24 to 1 column width (about 3 inches), so authors should ensure that figures will remain  
25 legible at that scale, For best results, avoid screening, shading, and colored  
26 backgrounds; use the simplest patterns available to indicate differences in charts, If a  
27 figure has been previously published, the legend (included in the manuscript proper)  
28 must give full credit to the original source, and written permission from the original  
29 publisher must be included, Be sure you have mentioned each figure, in order, in the  
30 text,

31

32 5. *Tables*. Tables should be self-explanatory and should supplement, not duplicate,  
33 the text, Number them with Roman numerals, in the order they are mentioned in the

1 text, Provide a brief title for each, If a table has been previously published, include a  
2 footnote in the table giving full credit to the original source and include written  
3 permission for its use from the copyright holder, Submit tables as text-based files  
4 (Word is preferred, Excel is accepted) and not as graphic elements, Do not use  
5 colors, shading, boldface, or italic in tables, Do not submit tables as parts A and B;  
6 divide into 2 separate tables. Do not "protect" tables by making them "read-only." The  
7 table title should be put above the table and not as a cell in the table, Similarly, table  
8 footnotes should be under the table, not table cells.

9

10 6. *Model release and permission form.* Photographs of identifiable persons must be  
11 accompanied by a release signed by the person or both living parents or the  
12 guardian of minors, Illustrations or tables that have appeared in copyrighted material  
13 must be accompanied by written permission for their use from the copyright owner  
14 and original author, and the legend must properly credit the source, Permission also  
15 must be obtained to use modified tables or figures.

16

17 7. *Copyright releas.* In accordance with the Copyright Act of 1976, which became  
18 effective February 1, 1978, all manuscripts must be accompanied by the following  
19 written statement, signed by all authors: "*The undersigned author(s) transfers all  
20 copyright ownership of the manuscript [insert title of article here] to the American  
21 Association of Orthodontists in the event the work is published. The undersigned  
22 author(s) warrants that the article is original, does not infringe upon any copyright or  
23 other proprietary right of any third party, is not under consideration by another  
24 journal, has not been previously published, and includes any product that may derive  
25 from the published journal, whether print or electronic media, I (we) sign for and  
26 accept responsibility for releasing this material,*" Scan the printed copyright  
27 release and submit it via EES.

28

29 8. *Use the International Committee of Medical Journal Editors Form for the  
30 Disclosure of Conflict of Interest (ICMJE Conflict of Interest Form).* If the manuscript  
31 is accepted, the disclosed information will be published with the article, The usual  
32 and customary listing of sources of support and institutional affiliations on the title  
33 page is proper and does not imply a conflict of interest, Guest editorials, Letters, and

1 Review articles may be rejected if a conflict of interest exists.  
2  
3 9. *Institutional Review Board approval*. For those articles that report on the results of  
4 experiments of treatments where patients or animals have been used as the sample,  
5 Institutional Review Board (IRB) approval is mandatory. No experimental studies will  
6 be sent out for review without an IRB approval accompanying the manuscript  
7 submission.

8

9 **Checklist for Authors**

- 10 \* Title page, including full name, academic degrees, and institutional affiliation and  
11 position of each author, and author to whom correspondence and reprint requests  
12 are to be sent, including address, business and home phone numbers, fax numbers,  
13 and e-mail address  
14 \* Abstract  
15 \* Article proper, including references and figure legends  
16 \* Figures, in TIF or EPS format  
17 \*Tables  
18 \*[Copyright release statement](#), signed by all authors  
19 [Photographic consent statement\(s\)](#)  
20 \*[ICMJE Conflict of interest statement](#)  
21 \* Permissions to reproduce previously published material

22

23 **Article structure**

24 [Introduction](#)

25 Provide an adequate background so readers can understand the nature of the  
26 problem and its significance, State the objectives of the work, Cite literature  
27 selectively, avoiding a detailed literature survey or a summary of the results,

28 [Material and Methods](#)

29 Provide sufficient detail to allow the work to be reproduced, If methods have already  
30 been published, indicate by a reference citation and describe only the relevant  
31 modifications, Include manufacturer information (company name and location) for any  
32 commercial product mentioned, Report your power analysis and ethics approval, as

1 appropriate,

2

3 ***Results***

4 Results should be clear and concise,

5

6 ***Discussion***

7 Explain your findings and explore their significance, Compare and contrast your  
8 results with other relevant studies, Mention the limitations of your study, and discuss  
9 the implications of the findings for future research and for clinical practice, Do not  
10 repeat information given in other parts of the manuscript,

11

12 ***Conclusions***

13 Write a short Conclusions section that can stand alone, If possible, refer back to the  
14 goals or objectives of the research,

15

16 **Essential title page information**

17 • **Title**, Concise and informative, Titles are often used in information-retrieval  
18 systems, Avoid abbreviations and formulae where possible,  
19 • **Author names and affiliation.**, Please clearly indicate the given name(s) and  
20 family name(s) of each author and check that all names are accurately spelled,  
21 Present the authors' affiliation addresses (where the actual work was done) below  
22 the names, Indicate all affiliations with a lower-case superscript letter immediately  
23 after the author's name and in front of the appropriate address, Provide the full postal  
24 address of each affiliation, including the country name and, if available, the e-mail  
25 address of each author,

26 • **Corresponding author**, Clearly indicate who will handle correspondence at all  
27 stages of refereeing and publication, also post-publication. **Ensure that the e-mail**  
28 **address is given and that contact details are kept up to date by the**  
29 **corresponding author**,

30 • **Present/permanent address**, If an author has moved since the work described in  
31 the article was done, or was visiting at the time, a 'Present address' (or 'Permanent  
32 address') may be indicated as a footnote to that author's name, The address at which  
33 the author actually did the work must be retained as the main, affiliation address.